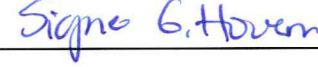


# Rapport

Oppdragsgiver: **Sør-Trøndelag Fylkeskommune**  
 Oppdrag: **Skjetlein Videregående skole**  
**Områdevurdering**  
 Emne: **Beregningsrapport**  
**Stabilitet**  
 Dato: **17. juni 2011**  
 Rev. - Dato **Rev. 2 - 22. november 2011**  
 Oppdrag- / Rapportnr. **414130 - 2**

Oppdragsleder:	<b>Håvard Narjord</b>	Sign.: 
Saksbehandler:	<b>Signe Gurid Hovem</b>	Sign.: 
Kontaktperson hos Oppdragsgiver:	<b>Helge Halse</b>	

**Sammendrag:**  
 Sør-Trøndelag fylkeskommune planlegger utbygging ved Skjetlein videregående skole, og det er igangsatt reguleringsplanarbeid for dette. NVE har påpekt behov for å vurdere området i forhold til fare for kvikkleireskred. Skoleområdet ligger delvis innenfor Skjetlein kvikkleiresone avmerket på NVE's faresonekart.  
 Det er utført grunnundersøkelser for avklaring av grunnforholdene ved skoleområdet, og i skråninger som ligger ovenfor skoleområdet. En presentasjon av utførte grunnundersøkelser med tilhørende beskrivelse av grunnforholdene er gitt i rapport 414130-1.  
 På skoleområdet er det påvist leire til stor dybde, basert på sonderinger og prøvetaking er leirmassene faste og lite sensitive. Mot Eggbekken i nordvest er det avtakende dybde til fast grunn, og boringene indikerer faste leirmasser over fjell/morene. I skråningen mot nordøst er det påvist kvikkleire i ca 13 – 15 m dybde under terrenget på de bratte terrengryggene. Boringer nord for bolighusene ovenfor skolen indikerer at det ikke er kvikk eller sensitiv leire i de nærmeste borer mot øst.  
 Da et eventuelt kvikkleireskred i skråningen nordøst for skoleområdet vi ha utløpsområde som påvirker skoleområdet, er det utført utredning av stabilitetsforholdene i skråningen for å avklare risiko for kvikkleireskred. Utredningen er utført iht. NVEs Retningslinjer nr. 1/2008 "Planlegging og utbygging i fareområder langs vassdrag".  
 Stabilitetsberegningene viser at stabiliteten av skråningen nordøst for skoleområdet er for lav for dagens tilstand, med  $\gamma_M \approx 1,04$  for profil A-A,  $\gamma_M \approx 1,22$  for profil B-B,  $\gamma_M \approx 1,22$  for profil C-C og  $\gamma_M \approx 1,25$  for profil D-D. Det vil si at skråningen har labil sikkerhet i det aktuelle området. I henhold til NVEs retningslinjer må det derfor utføres stabilisering som gir prosentvis forbedring av sikkerhet. Som stabiliseringe tiltak foreslår vi at det utføres en terregarrondering i skråningen slik at terrenget jevnes ut. Tiltaket må imidlertid detaljeres nærmere i en senere planfase.

2	22.11.11	3. gangs utsendelse for 3. partskontroll	18	SGH 	HAN 	OAA 
1	27.09.11	2. gangs utsendelse for 3. partskontroll	17	SGH	HAN	OAA
0	17.06.11	Utsendt for 3. partskontroll	15	SGH	HAN	OAA
<b>Utg.</b>	<b>Dato</b>	<b>Tekst</b>	<b>Ant.sider</b>	<b>Utarb.av</b>	<b>Kontr.av</b>	<b>Godkj.av</b>

## Innholdsfortegnelse

1.	Innledning .....	5
2.	Grunnlag.....	6
3.	Terreng og grunnforhold.....	6
4.	Faregradsevaluering .....	7
4.1	Generelt .....	7
4.2	Utbredelse av kvikkleire .....	7
4.3	Faregradsevaluering.....	7
5.	Skredtype og maksimal utbredelse av skred .....	9
5.1	Generelt .....	9
5.2	Skredtype .....	9
5.3	Utbredelse av skred .....	9
6.	Materialparametre .....	9
6.1	Generelt .....	9
6.2	Kvalitet av undersøkelser .....	9
6.3	Tyngdetetthet.....	10
6.4	CPTU og poretrykk .....	10
6.5	Udrenerte styrkeparametre.....	10
6.6	Deformasjonsegenskaper.....	12
6.7	Udrenert skjærstyrke modellert etter SHANSEP-prinsippet .....	13
6.8	Anisotropi .....	14
6.9	Effektivspenningsparametre, friksjonsvinkel, $\phi_k$ .....	14
6.10	Materialparametre .....	15
7.	Stabilitet .....	15
7.1	Beregningsverktøy .....	15
7.2	Beregninger .....	15
8.	Stabilitets vurdering .....	17
9.	Referanser .....	18

## Tegninger

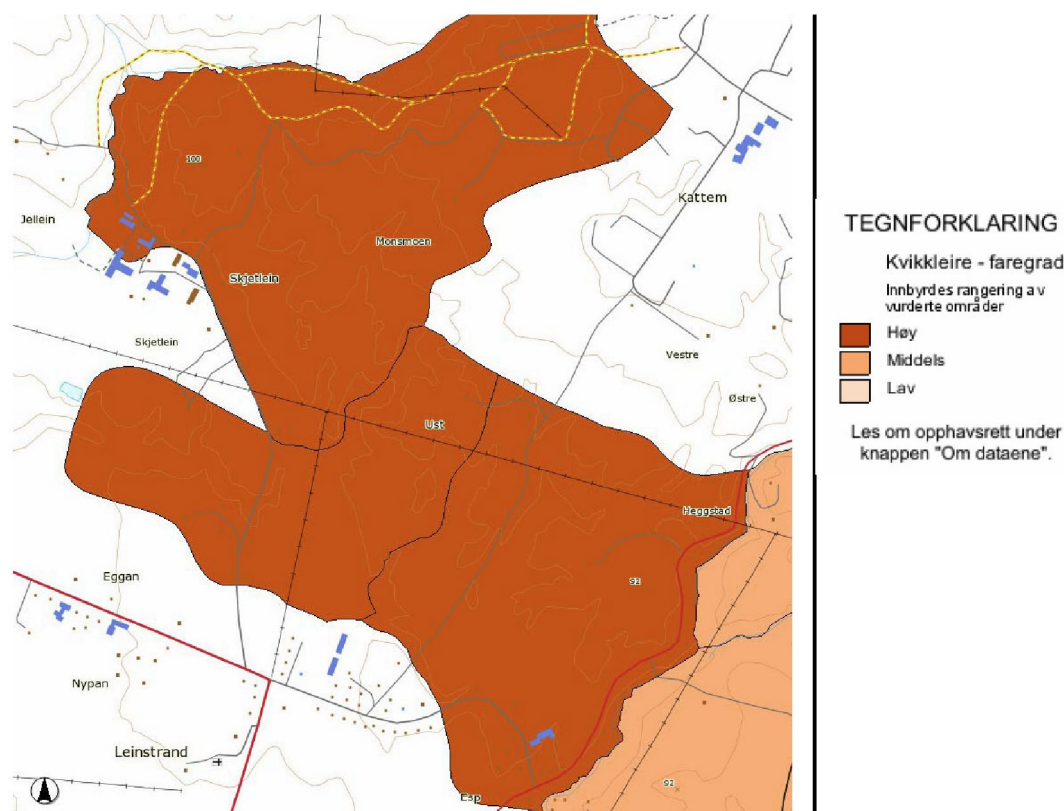
414130-0	Oversiktskart
414130-2 rev A	Oversikt over borer med kvikkleire. Avgrensning av kvikkleiresone
414130-3 rev B	Forslag til terreng justeringer
-40.6 rev A	CPTU BP.8, udrenert skjærstyrke, $s_{uA}$ , korrelert mot $B_q$
-40.7 rev A	CPTU BP.8, udrenert skjærstyrke, $s_{uA}$ , SHANSEP-analyse
-40.8	CPTU BP.8, prekonsolideringsspenning, $p_c'$
-40.9	CPTU BP.8, overkonsolideringsgrad, $OCR$
-41.6 rev A	CPTU BP.12, udrenert skjærstyrke, $s_{uA}$ , korrelert mot $B_q$
-41.7 rev A	CPTU BP.12, udrenert skjærstyrke, $s_{uA}$ , SHANSEP-analyse
-41.8	CPTU BP.12, prekonsolideringsspenning, $p_c'$
-41.9	CPTU BP.12, overkonsolideringsgrad, $OCR$
-75.3	Kontinuerlig ødometerforsøk, PR.12, d=10,4 m med tolkede deformasjonsegenskaper
-76.3	Kontinuerlig ødometerforsøk, PR.12, d=10,65 m med tolkede deformasjonsegenskaper
-77.3	Kontinuerlig ødometerforsøk, PR.12, d=16,4 m med tolkede deformasjonsegenskaper
-78.3	Kontinuerlig ødometerforsøk, PR.12, d=18,18 m med tolkede deformasjonsegenskaper
-79.3	Kontinuerlig ødometerforsøk, PR.16, d=6,32 m med tolkede deformasjonsegenskaper
-80.3	Kontinuerlig ødometerforsøk, PR.16, d=18,15 m med tolkede deformasjonsegenskaper
-85.3	Treaksialforsøk, BP.12, d=10,45 m, spenningssti med tolket styrke
-86.3	Treaksialforsøk, BP.12, d=16,50 m, spenningssti med tolket styrke
-87.3	Treaksialforsøk, BP.12, d=18,25 m, spenningssti med tolket styrke
-88.3	Treaksialforsøk, BP.16, d=6,45 m, spenningssti med tolket styrke
-89.3	Treaksialforsøk, BP.16, d=18,55 m, spenningssti med tolket styrke
-300 rev. A	Profil A-A med lagdeling
-301	Profil B-B med lagdeling
-302	Profil C-C med lagdeling
-303	Profil D-D med lagdeling

- 400.1 rev A Beregningsprofil A-A, stabilitetsberegning, dagens situasjon, *ADP*-analyse
- 400.2 Beregningsprofil A-A, stabilitetsberegning, dagens situasjon,  $a\phi$ -analyse
- 400.3 rev. A Beregningsprofil A-A, stabilitetsberegning, etter tiltak, *ADP*-analyse
- 400.4 rev A Beregningsprofil A-A, stabilitetsberegning, etter tiltak,  $a\phi$ -analyse
- 401.1 rev A Beregningsprofil B-B, stabilitetsberegning, dagens situasjon, *ADP*-analyse
- 401.2 Beregningsprofil B-B, stabilitetsberegning, dagens situasjon,  $a\phi$ -analyse
- 401.3 rev B Beregningsprofil B-B, stabilitetsberegning, etter tiltak, *ADP*-analyse
- 402.1 Beregningsprofil D-D, stabilitetsberegning, dagens situasjon, *ADP*-analyse
- 402.2 Beregningsprofil D-D, stabilitetsberegning, dagens situasjon,  $a\phi$ -analyse
- 402.3 rev. A Beregningsprofil D-D, stabilitetsberegning, etter tiltak, *ADP*-analyse
- 403.1 Beregningsprofil C-C, stabilitetsberegning, dagens situasjon, *ADP*-analyse
- 403.2 Beregningsprofil C-C, stabilitetsberegning, dagens situasjon,  $a\phi$ -analyse
- 403.3 Beregningsprofil C-C, stabilitetsberegning, etter tiltak, *ADP*-analyse

## 1. Innledning

Sør-Trøndelag fylkeskommune planlegger utbygging ved Skjetlein videregående skole, og det er igangsatt reguleringsplanarbeid for dette. NVE har påpekt behov for å vurdere området i forhold til fare for kvikkleireskred. Skoleområdet ligger delvis innenfor Skjetlein kvikkleiresone avmerket på NVE's faresone, se figuren nedenfor.

Figur 1-1 Kvikkleiresoner ved Skjetlein



Det er tidligere utført borer i sonen nord for skoleområdet av Trondheim kommune i forbindelse med nærmere avgrensning av kvikkleireforekomsten (Trondheim kommune prosjekt R.1447). Nye undersøkelser er utført rundt skoleområdet for å avklare om kvikkleireforekomsten kan berøre skoleområdet.

Da det er påtruffet kvikkleire som kan påvirke utbyggingsområdet må farene for skred utredes iht. NVEs Retningslinjer nr. 1/2008 *"Planlegging og utbygging i fareområder langs vassdrag"* (ref. /6/).

Utredning av skredfarene utføres stevnes iht. følgende punkter:

### 1. Faregradsevaluering

Faregradsevaluering omfatter å identifisere fareutsatt areal (utstrekning av faresone) samt å vurdere sannsynlighet for skred.

### 2. Vurdering av bruddtype og maksimal utbredelse av skred

Vurdering av skredtype og utløsende skredfaktor (for eksempel initialskred og retrogressivt skred eller flakskred utløst ved progressiv bruddutvikling i

sprøbruddmateriale). Utredninga omfatter videre vurdering av både løsneområder og utløpsområder for skredmasser.

3. ***Stabilitetsanalyser***

Beregning av sikkerheten mot utglidning for dagens situasjon.

4. ***Evt. utredning av stabilitetsforbedrende tiltak***

Utredning av stabiliseringe tiltak som eventuelt må gjennomføres i og utenfor planområdet for å oppnå tilfredsstillende sikkerhet.

Foreliggende rapport inneholder en utredning av skredfarene i hht overnevnte punkter.

## 2. Grunnlag

Det er tidligere utført borer i sonen nord for skoleområdet av Trondheim kommune i forbindelse med nærmere avgrensning av kvikkleireforekomsten (Trondheim kommune prosjekt R.1447).

I forbindelse med planlagte utbygging på skoleområdet er det utført nye undersøkelser på selve skoleområdet og rundt skoleområdet for å avklare om kvikkleireforekomsten kan berøre skoleområdet. En presentasjon av utførte grunnundersøkelser med tilhørende beskrivelse av grunnforholdene er gitt i MC rapport 414130-1 (ref. /1/).

## 3. Terren og grunnforhold

Skoleområdet ligger på et flatt område, øst for Eggabekken. Nord for skoleområdet er det et ravinert landskap med dels bratte skråninger. Området i nordøst er for en stor del dyrka mark.

Undersøkelsen har vist at det ikke er kvikkleire i grunnen på selve skoleområdet. Det er sonderinger med indikasjoner på sensitive masser i dybden, men prøvetaking viser at det er fast til meget fast leire som er lite sensitiv.

I skråningen nordøst for skoleområdet er det imidlertid påvist kvikkleire i ca 15 m dybde med antatt mektighet ca 10 m. Antatt lagdeling er vist på tegningene 414130-300 til -302.

Borer utført av Trondheim kommune nord/nordøst for skoleområdet kan tyde på at det er forekomster av kvikk leire videre mot nord og nordøst, men det usikkert om disse forekomstene utgjør et sammenhengende kvikkleirelag.

På tegning 414130-2 har vi vist et større kartutsnitt med påføring av påvist/antatt kvikkleire.

Det er satt ned 2 elektriske målere i borpunkt PZ8 og 12. Poretrykkmålerne i BP 8 indikerer en grunnvannstand ca 4 meter under terren og poretrykk noe mindre enn hydrostatisk fordeling med dybden. I BP 12 antyder poretrykksmålerne en grunnvannstand ca 1 m under terren og poretrykk noe mindre enn hydrostatisk fordeling med dybden. Resultater fra poretrykksmålingene er vist i rapport 414130-1.

## 4. Faregradsevaluering

### 4.1 Generelt

Skoleområdet ligger delvis innenfor Skjetlein kvikkleiresone avmerket på NVE's faresone med høy faregrad. Basert på de nye undersøkelsene har vi utført en ny evaluering av faregraden i henhold til NVEs retningslinjer nr. 1/2008, vedlegg 1 (Teknisk veileding) kapittel 3 (ref/6/).

Adkomstvegen til skoleområdet ligger også til dels i kvikkleiresoner med lav til middels faregrad, men er av NVE klassifisert i tiltakskategori K1 ( ref. /3/). Det er forutsatt at tiltakene for adkomstvegen må dokumentere at tiltakene ikke forverrer stabiliteten.

### 4.2 Utbredelse av kvikkleire

Basert på utførte grunnundersøkelser, registrert berg i dagen og topografiske forhold, er det gjort en vurdering av kvikkleiras utbredelse. Dette har resultert i et forslag om skille kvikkleiresona ovenfor skoleområdet fra hovedsonen Skjetlein kvikkleiresone, for eksempel benevnt "Skjetlein vest". For øvrig har vi ikke justert sona, da denne vurderes ikke å berøre utbyggingsområdet. Følgende vurderinger ligger til grunn for grenselinjene:

- Alle kjente grunnundersøkelser i området er tatt med i vurderingen. Plassering av borpunkt er vist på situasjonsplanen, tegning nr. -2. Boringer der det er påvist kvikkleire eller sprøbruddmaterialer er markert med rød ring eller vist med rødt farge, mens boringer uten kvikkleire/ sprøbruddmateriale er vist med svart farge.
- Sona er trukket ut i fra de registrerte boringene med kvikkleire/sprøbruddegenskaper
- Vurdering av skredutbredelse (kap. 5).

Forslaget til kvikkleireavgrensning er vist på tegning nr. -2.

### 4.3 Faregradsevaluering

Det er utført faregradsevaluering for den aktuelle delen av sonen for dagens situasjon. Planlagt utbygging forventes ikke å ha innvirkning på faregradsevalueringen.

Faregradsevalueringen er utført iht. retningslinjer i NGI-rapport 20001008-2, rev. 3 datert 08.10.2008 "Vurdering av risiko for skred. Metode for klassifisering av faresoner, kvikkleire".

Evalueringen er utført iht. tabell 4.1 og 4.2 under.

Tabell 4-1: Tabell 4.1 Grunnlag for evaluering av faregrad, hentet fra /10/

Faktorer	Vekt-tall	Faregrad, score				
		3	2	1	0	
Tidl. skredaktivitet	1	Høy	Noe	Lav	Ingen	
Skråningshøyde, meter	2	> 30	20 - 30	15 - 20	< 15	
Tidligere/ nåværende terrengnivå (OCR)	2	1,0 – 1,2	1,2 – 1,5	1,5 – 2,0	> 2,0	
Poretrykk	Overtrykk, kPa	+3	> + 30	10 – 30	0 – 10	Hydrostatisk
	Undertrykk, kPa	-3	> -50	- (20 – 50)	- (0 – 20)	

Faktorer	Vekt-tall	Faregrad, score			
		3	2	1	0
Kvikkleiremektighet	2	> H/2	H/2 – H/4	< H/4	Tynt lag
Sensitivitet	1	> 100	30 - 100	20 - 30	< 20
Erosjon	3	Aktiv/glidning	Noe	Lite	Ingen
Inngrep	Forverring	+3	Stor	Noe	Liten
	Forbedring	-3	Stor	Noe	Liten
<b>Sum poeng</b>		<b>51</b>	<b>34</b>	<b>16</b>	<b>0</b>
<b>% av maksimal poengsum</b>		<b>100 %</b>	<b>67 %</b>	<b>33 %</b>	<b>0 %</b>

Faregradsklassene er inndelt tre faresoner iht. /10/

- Faregradklasse lav: Poengverdi fra 0 til 17
- Faregradklasse middels: Poengverdi 18 til 25
- Faregradklasse høy: Poengverdi 26 til 51

Tabell 4-2: Faregradsevaluering av faresonen, Skjetlein Vest" utført iht./10/

Faktorer	Vekttall	Score	Produkt	Merknad/vurdering
Tidl. skredaktivitet	1	3	3	Antar at terrenget er blitt formet av tidligere skedaktivitet
Skråningshøyde	2	3	6	Total høydeforskjell fra kote +95 til kote +55 på planområdet.
OCR	2	0		Basert på tolking av CPTU-sonderinger og ødometerforsøk vurderes området å være noe overkonsolidert med OCR høyere enn 2.
Poretrykk	3/-3	0	0	Poretrykksmålinger indikerer tilnærmet hydrostatisk poretrykk
Kvikkleiremektighet	2	2	4	Kvikkleiremektighet til opp til 15 m tykkelse
Sensitivitet	1	3	3	Sensitiviteten er for enkelprøver målt til $S_t = 278$
Erosjon	3	0	0	Ingen bekker registrert. Ingen erosjon i ravinene.
Inngrep	3/-3	0	0	Planlagt utbygging vil ikke ha innvirkning på kvaliteten.
<b>Poengverdi</b>			<b>16</b>	<b>Gir faregradsklasse "Lav"</b>

Faregradsevalueringa gir en poengverdi på 16 og medfører at sonen plasseres i faregradsklasse "Lav" som omfatter soner med poengverdi fra 0 til 16 poeng jfr/10/. På grunnlag av de oppsatte kriteriene vil dermed sonen, relativt sett, ha lav sannsynlighet for at skred skal inntreffe.

## 5. Skredtype og maksimal utbredelse av skred

### 5.1 Generelt

Formålet med å vurdere skredtype og utbredelse av skred er å belyse hvilken utstrekning et eventuelt skred utløst i sona kan få, og hvilke følgerisiko for skader på bebyggelse nedstrøms sona et skred kan medfore.

### 5.2 Skredtype

Basert på topografi og grunnforhold finner vi at mest sannsynlig skredtype i skåningen nordøst for skoleområdet er et flaskred, utløst ved progressiv bruddutvikling i sprobruuddmateriale.

### 5.3 Utbredelse av skred

Dette er tidligere behandlet i vårt brev av 7. oktober 2010 (ref. /2/). Der har vi beskrevet at det er behov for nærmere utredning av faren for kvikkleireskred i Skjetlein kvikkleiresone i skråningen nord for skoleområdet. Eventuell skred i kvikkleireforekomsten nordvest i Skjetlein kvikkleiresone vil ha skredretning som ikke berører skoleområdet.

Vi har derfor utredet skredfaren for et kvikkleireskred i skråningen nord for skoleområdet. Se tegning 414130-2. Det understrekkes at dette gjelder for *potensiell* skredfare. Beregning av *reell* skredfare er vist i kapittel 7-8.

## 6. Materialparametre

### 6.1 Generelt

Tolkning av parametre er utført på basis av utførte CPTU-sonderinger og opptatte 54 mm proveserier. Det er spesielt lagt vekt på spesialforsøkene samt tolkning av skjærstyrke og stivhetsparametere fra CPTU-sonderingene.

### 6.2 Kvalitet av undersøkelser

Prøvetaking av leire med 54 mm cylinderprover vurderes å ligge Kvalitetsklasse 1 – 2. Vurdering av prøvekvalitet er basert på målt volumtoyning i konsolideringsfasen på treaksialforsøk iht. tabell 5.1 i ref. /6/.

Tabel 6-1 Prøvekvalitet

Borpunkt	Dybde	OCR*	Volumtøyning (%)	Kvalitesklasse
BP12	10,45	4,3	3,36	Kvalitetsklasse 2. "Forstyrret"
BP12	16,50	2,2	3,56	Kvalitetsklasse 2. "Forstyrret"
BP12	18,25	1,95	2,89	Kvalitetsklasse 1. "Akseptabel"
BP16	6,45	4,1	0,71	Kvalitetsklasse 1. "Akseptabel"
BP16	18,55	2,0	3,5	Kvalitetsklasse 1. "Akseptabel"

OCR\* verdier tolket fra ødometer forsøk

Utførte CPTU-sonderinger vurderes generelt å være av god kvalitet og vurderes å ligge i anvendelseskasse 1.

Parameterkvalitet er vurdert ved hjelp av følgende:

- Samlet målenøyaktighet i relasjon til krav i Anvendelsesklasser etter NGF Melding 5 rev.3 er samlet i tegningene -40.5 og- 41.5 i rapport 414130-1. Resultatene viser at Anvendelseskasse 1 er oppnådd for samtlige målinger bortsett for spissmotstand i CPTU 12.
- Metting og poretrykksrespons synes å være tilfredsstillende for alle CPTU-profilene.

### 6.3 Tyngdetethet

Målt tyngdetethet på opptatte prøver er benyttet som grunnlag for en valgt gjennomsnittlig verdi på  $\gamma = 19,0 \text{ kN/m}^3$  i tolkninger og beregninger. Se tegning nr. 414130-10 t.o.m. -15 i rapport nr. 414130-1 for geotekniske data.

### 6.4 CPTU og poretrykk

I tolkning av CPTU-sonderingene er poretrykket justert i forhold til målt poretrykk. Følgende poretrykk er lagt til grunn:

- BP.8:** Hydrostatisk poretrykk fra 4,0 m under terrengr.
- BP.12:** Hydrostatisk poretrykk fra 1,0 m under terrengr.

### 6.5 Udrenerete styrkeparametre

$s_u$  fra enaks og konus

Verdier for  $s_u$  fra rutineundersøkelser på opptatte prøver (enaks og konus) er i våre vurderinger benyttet som verdier for direkte skjærstyrke,  $s_{uD}$ . Rutineundersøkelsene viser store variasjoner i målt udrenert skjærstyrke og indikerer varierende prøvekvalitet.

*s<sub>uA</sub> fra treaksialforsøk*

Karakteristiske verdier ( $s_{uA}$ ) er tatt ut ved ca 2 % tøyning. Prøve i BP12, dybde 16,5 anses for ikke å være representativ for leira da forsøket indikerer at det er silt i massene.

*s<sub>uA</sub> fra CPTU-sonderinger*

For bestemmelse av udrenert skjærstyrke er CPTU-sonderingene korrelert iht. empirisk baserte tolkningsfaktorer etter Karlsrud m. fl., se ref. /9/og /11/. For finkornige masser med relativt homogene forhold betraktes tolkning av CPTU på poretrykksbasis som den mest egnede metoden.

Det er benyttet forskjellig korrelasjon på leire og kvikkleire/sprøbruddmaterialer (differensiert i forhold til lagdeling/sensitivitet).

Metode basert på poretrykk, Δu

$$s_{uA} = \frac{\Delta u}{N_{\Delta u}}$$

der,  $\Delta u = u_2 - u_0$ , registrert poreovertrykk i CPTU

$N_{\Delta u}$  = tolkningsfaktor på poretrykksbasis

Tolkning av CPTU er basert på  $N_{\Delta u}$  bestemt ut fra korrelasjoner mot  $B_q$  samt korrelasjoner mot  $OCR$ ,  $S_t$  og  $I_p$  basert på erfaringsverdier korrelert mot aktive treaksialforsøk.

Følgende korrelasjoner er benyttet:

	Empirisk middelvariasjon i $B_q$	Empirisk middelvariasjon i $OCR$ , $S_t$ og $I_p$
Leire ( $S_t < 15$ )	$N_{\Delta u} = 1,8 + 7,25 \cdot B_q$	$N_{\Delta u} = 6,9 - 4,0 \cdot \log OCR + 0,070 \cdot I_p$
Kvikkleire/ sprøbruddmateriale ( $S_t > 15$ )	$N_{\Delta u} = 1,8 + 7,25 \cdot B_q$	$N_{\Delta u} = 9,8 - 4,5 \cdot \log OCR + 0,0 \cdot I_p$

$$B_q = \frac{\Delta u}{q_n}$$

der,  $q_n$  = netto spissmotstand

Metode basert på spissmotstand, q<sub>t</sub>

For sammenligning er det tatt med tolkning av CPTU på spissmotstandsbasis. På spissmotstandsbasis bestemmes  $s_{uA}$  som:

$$s_{uA} = \frac{q_t - \sigma_{v0}}{N_{kt}} = \frac{q_n}{N_{kt}}$$

der,  $q_t$  = korrigert spissmotstand

$\sigma_{v0}$  = in situ vertikal overlagringstrykk

$N_{kt}$  = bæreevnefaktor/konfaktor

$N_{kt}$  er bestemt ut i fra følgende prosedyrer:

	Empirisk middelvariasjon i $B_q$	Empirisk middelvariasjon i $OCR, S_t$ og $I_p$
Leire ( $S_t < 15$ )	$N_{kt} = 18,7 - 12,5 \cdot B_q$	$N_{kt} = 7,8 + 2,5 \cdot \log OCR + 0,082 \cdot I_p$
Kvikkleire/sprøbruddmateriale ( $S_t > 15$ )	$N_{kt} = 18,7 - 12,5 \cdot B_q$	$N_{kt} = 8,5 + 2,5 \cdot \log OCR + 0,0 \cdot I_p$

Tegning nr. 414130-40.6 til -40.8, -41.6 til -41.8, -42.6 til -42.8, -43.6 til -43.8 og -44.6 til 44.8 viser de tolkede skjærstyrkeprofilene med valgt karakteristisk designverdi.

Det er valgt å ikke redusere "peak" verdien på  $s_{uA}$  for uttak av karakteristisk styrke da CPTU er korrelert mot treaksialforsøk.

## 6.6 Deformasjonsegenskaper

### Ødometerforsøk

Ødometerforsøk utført på opptatte prøver viser at grunnen er overkonsolidert. Se tegning nr. 414130-75 t.o.m. -84 for resultat fra ødometerforsøk.

Tolkede parametre fra ødometerforsøk er oppsummert i Tabell 6-2

Tabell 6-2 Tolkede parametre fra ødometerforsøk

BP. [nr]	Kote [moh]	Dybde [m]	$\sigma_{v0}'$ [kPa]	Tolket fra ødometer			Estimert tidligere terrengnivå [moh]
				$\sigma_c'$ [kPa]	$POP=\Delta\sigma_c'$ [kPa]	OCR	
12	57,3	10,40	104	450	346	4,3	+95
		10,65	106	500	394	4,7	+101
		16,40	158	430	272	2,7	+87
		18,20	174	340	166	1,95	+75
16	87,3	6,32	97	400	303	4,1	+121
		18,15	203	400	197	2,0	+109

Flere av forsøkene viser forstyrret prøvekvalitet og er av den grunn vanskelig å tolke. Spesielt gjelder dette de to dypeste forsøken i BP12. Det er derfor lagt mindre vekt på disse tolkningene.

Basert på ødometerforsøkene vurderes tidligere terrengnivå å ligge på ca. kote +95 til +100 i nedre del av skråningen ved BP12 stigende til ca kote +110 til +120 lengre opp i skråningen ved BP 16. Det er da antatt grunnvannstand i samme dybde under terrenget som dagens, dvs hhv 1 m og 4 m under terrenget.

$p_c'$  og OCR fra CPTU

Prekonsolideringsforhold og grunnens deformasjonsegenskaper er bestemt ut i fra ødometerforsøkene. Data fra CPTU er benyttet til å ekstrapolere dataene fra ødometerforsøk mot dybden. Det er benyttet tolkning fra CPTU både på spissmotstands- og poretrykksbasis.

For spissmotstand er følgende forhold benyttet i tolkningen:

$$OCR = \frac{\sigma_{cq}'}{\sigma_{v0}}$$

$$\sigma_{cq}' = \frac{q_n}{\alpha \cdot N_{kt}} - a$$

der,  $\alpha$  = normalkonsolideringsforhold;  $\alpha=0,25$  er benyttet

$N_{kt}$  = spissmotstandsfaktor;  $N_{kt} = 10$  er benyttet

OCR fra registrert poretrykk er tolket som:

$$OCR = \frac{\sigma_{cu}'}{\sigma_{v0}}$$

$$\sigma_{cu}' = \frac{\Delta u}{\alpha \cdot N_{\Delta u}} - a$$

der,  $\alpha$  = normalkonsolideringsforhold;  $\alpha= 0,25$  er benyttet

$N_{\Delta u}$  = poretrykksfaktor;  $N_{\Delta u} = 8$  er benyttet

Tolkning av prekonsolideringsspenning,  $p_c'$ , er vist på tegning nr. 414130-40.8 og -41.8.

Tegning nr. 414130-40.9 og -41.9, viser tolkning av overkonsolideringsgrad (OCR) både på spissmotstands- og poretrykksbasis. De to metodene gir relativt godt samsvar og indikerer at leira er overkonsolidert.

## 6.7 Udrenert skjærstyrke modellert etter SHANSEP-prinsippet

Udrenert skjærstyrke er nært relatert til in-situ effektivspenninger og leiras overkonsolideringsgrad. Udrenert skjærstyrke øker med økning i effektivspenning. Denne økninga er avhengig av overkonsolideringsgraden. Udrenert skjærstyrke avhengig av overkonsolideringsgraden kan modelleres etter SHANSEP-prinsippet /4/ og /5/:

$$s_{u4} = \alpha \cdot OCR^m \cdot p_0'$$

der,  $\alpha$  = Normalisert styrke av helt ung leire (OCR = 1,0)

OCR = Overkonsolideringsgrad =  $p_c'/p_0'$

$m$  = Eksponent som for norske leirer typisk har vist seg å variere mellom ca. 0,6 og 0,9 avhengig av leira og forsøkstype.

$p_o'$  = Insitu vertikal effektivspenning

$p_c'$  = Prekonsolideringsspenning

I beregningene er det valgt å bruke:

$$\alpha = 0,30$$

$$m = 0,70$$

Det er tatt utgangspunkt i at grunnen er overkonsolidert tilsvarende en tilleggsspenning som angitt i Tabell 6-1.

Utskrift av beregnet udrenert skjærstyrke etter SHANSEP-prinsippet er vist på tegning nr. 414130-40.6 og -41.6.

## 6.8 Anisotropi

Anisotropiforholdene i kvikkleire/leire er basert på erfaringstall fra tidligere laboratorieforsøk på høykvalitets prøver, bl.a. presentert av Karlsrud et.al ref. /4/. For mager kvikkleire ( $I_p < 5\%$ ) er det tidligere dokumentert svært lave ADP-forhold.

Det er utført konsistensgrenser på prøver fra på leira og kvikkleire. Plastisitet  $I_p$  på leire er målt mellom 10 og 20 % og på kvikkleire mellom 5 og 10%.

I beregningene er følgende anisotropiforhold benyttet:

Leire:

Forholdet mellom direkte skjær og aktiv skjærfasthet:  $s_{uD}/s_{uA} = 0,7$   
Forholdet mellom passiv og aktiv skjærfasthet:  $s_{uP}/s_{uA} = 0,4$

Kvikkleire:

Forholdet mellom direkte skjær og aktiv skjærfasthet:  $s_{uD}/s_{uA} = 0,6$   
Forholdet mellom passiv og aktiv skjærfasthet:  $s_{uP}/s_{uA} = 0,3$

I valgte styrkeprofiler er det lagt inn verdi for  $s_{uA}$  basert på rutinedata og tolket styrke fra treaksialforsøk og CPTU.

## 6.9 Effektivspenningsparametre, friksjonsvinkel, $\phi_k$

For effektivspenningsparametere på leira og kvikkleira er det tatt ut  $a$ - $\phi$  parametere fra de udrenerte treaksialforsøkene. For de andre materialene er det benyttet erfaringsverdier.

*Leire/kvikkleire*

Bruddstyrken er tatt ut ved 1-2 % tøyning. Ut i fra treaksialforsøkene vurderes karakteristisk friksjonsvinkel til å være  $\phi_k = 25^\circ$  ( $\tan \phi_k = 0,48$ ) og attraksjon  $a = 10$  kPa. Tolket styrke fra treaksialforsøkene er vist på tegning nr. 414130-85.3 – 89.3.

Valgte styrkeparametere benyttet ved beregningene er angitt i

Tabell 6-3 under.

## 6.10 Materialparametre

Valgte styrkeparametere benyttet ved beregningene er angitt i tabellen under.

Følgende materialparametre er benyttet:

Tabell 6-3 *Materialparametre*

Materiale	Tyngdetetthet, $\gamma$	Friksjon, $\tan \phi_k$	Attraksjon, $a$	Udrenert skjærstyrke, $S_u_A$
Tørrskorpeleire	19,0 kN/m <sup>3</sup>	0,58 ( $\phi_k = 30^\circ$ )	0 kPa	-
Leire	19,0 kN/m <sup>3</sup>	0,48 ( $\phi_k = 25^\circ$ )	10 kPa	$S_u_A = (60 + 3 * z_{ref})$ kPa $z_{ref} =$ ok leire
Kvikkleire/sensitiv leire	19,0 kN/m <sup>3</sup>	0,48 ( $\phi_k = 25^\circ$ )	10 kPa	$S_u_A$ kvikkleire = 0,8 * $S_u_A$ design
Faste masser	19,0 kN/m <sup>3</sup>	0,65 ( $\phi_k = 33^\circ$ )	0 kPa	-

## 7. Stabilitet

### 7.1 Beregningsverktøy

Stabilitetsberegningene er utført med beregningsprogrammet "GeoSuite Stability" versjon 5.0.4 med beregningsmetode Beast 2003. Beregningsmetoden er basert på grenselikevektsmetoden, og anvender en versjon av lamellmetoden som tilfredsstiller både kraft- og momentlikevekt. Programmet søker selv etter kritisk sirkulaersylindrisk glideflate for definerte variasjonsområder av sirkelsentrum. Det er også mulig å definere egne glideflater i programmet.

Beregninger er utført for dagens tilstand ved udrenert totalspenningsanalyse, ADP-analyse, samt udrenert effektivspenningsanalyse.

For beregninger på totalspenningsbasis (ADP-analyser) er det benyttet anisotropisk jordmodell.

### 7.2 Beregninger

Det er utført beregninger for 4 profil, profil A, profil B, profil C og Profil D. Disse profilene er antatt å være mest kritiske på bakgrunn av grunnforhold og topografi. Plassering av beregningsprofilene er vist på situasjonsplanen, tegning nr. -2.

I beregningene er det generelt lagt inn 4 lag i følgende rekkefølge; tørrskorpeleire, leire, kvikkleire, leire, faste masser.

Beregningene viser at det er behov for stabiliserende tiltak. Vi har derfor gjort en utredning av stabiliserende tiltak som må gjennomføres for å oppnå tilfredsstillende sikkerhet. Tiltaket er nærmere beskrevet i kap. 8.

I Tabell 7-1 er beregnet sikkerhetsfaktor mot utglidning for de forskjellige beregningene oppsummert.

Tabel 7-1 Sikkerhetsfaktor for kritisk skjærflate

Tegning nr.	Profil	Beregning	Analyse	Sikkerhetsfaktor $\gamma_M$ for kritisk skjærflate	Krav til %-vis forbedring
414130 -400.1 rev. A	Profil A-A	Dagens tilstand Sirkulær -/plan glideflate	ADP-analyse	1,04/1,21	13,5 / 6
-400.2	Profil A-A	Dagens tilstand Sirkulær -/plan glideflate	aφ-analyse	1,23/	6
-400.3 rev. A	Profil A-A	Etter tiltak Sirkulær -/plan glideflate	ADP-analyse	1,21/1,30	Forbedret hhv. 16% og 7%
-400.4 rev. A	Profil A-A	Etter tiltak Sirkulær -/plan glideflate	aφ-analyse	1,48	Forbedret 20%
-401.1 rev. A	Profil B-B	Dagens tilstand Sirkulær -/plan glideflate	ADP-analyse	1,34/1,22	2 / 6,5
-401.2	Profil B-B	Dagens tilstand Sirkulær -/plan glideflate	aφ-analyse	1,9/2,0	-
-401.3 rev. B	Profil B-B	Etter tiltak Sirkulær -/plan glideflate	ADP-analyse	1,41/1,30	Forbedret hhv. 5,5% og 6,5%
-402.1	Profil D-D	Dagens tilstand Sirkulær -/plan glideflate	ADP-analyse	1,25/1,27	5,5 / 4,0
-402.2	Profil D-D	Dagens tilstand Sirkulær -/plan glideflate	aφ-analyse	1,88	-
-402.3 Rev. A	Profil D-D	Etter tiltak Sirkulær -/plan glideflate	ADP-analyse	1,32/1,34	Forbedret hhv. 5,5% og 5%
-403.1	Profil C-C	Dagens tilstand Sirkulær -/plan glideflate	ADP-analyse	1,24/1,22	6,0 / 6,5
-403.2	Profil C-C	Dagens tilstand Sirkulær -/plan glideflate	aφ-analyse	1,42	-
-403.3	Profil C-C	Etter tiltak Sirkulær -/plan glideflate	ADP-analyse	1,31/1,32	Forbedret hhv. 6% og 8%

## 8. Stabilitets vurdering

I henhold til tabell 3.1 i ref/6/ plasseres tiltaket i Tiltakskategori K3. ”*Tiltak som innebærer tilflytning av mennesker og tiltak som gjelder viktige samfunnsfunksjoner*”. Videre er tilliggende kvikkleiresone avmerket med faregrad Høy. Det stilles derfor krav om dokumentert sikkerhet på  $\gamma_M \approx 1,4$  eller vesentlig forbedring.

Stabilitetsberegningene viser at stabiliteten av skråningen nordøst for skoleområdet er for lav for dagens tilstand, med  $\gamma_M \approx 1,04$  for profil A-A,  $\gamma_M \approx 1,22$  for profil B-B,  $\gamma_M \approx 1,22$  for profil C-C og  $\gamma_M \approx 1,25$  for profil D-D. Det vil si at skråningen har labil sikkerhet i det aktuelle området. I henhold til NVEs retningslinjer må det derfor utføres stabilisering tilkak som enten dokumenterer en sikkerhet på  $\gamma_M \approx 1,4$  eller en prosentvis forbedring av stabiliteten med 0-15% i hht figur 4.1 i NVE ref. /6/.

Beregninger for permanent tilstand etter stabilisering tilkak viser en forbedring som tilfredsstiller dette kravet.

Som stabilisering tilkak foreslår vi at det utføres en terregarrondering i skråningen slik at terrenget jevnes ut. Dette ved å flytte massene fra ryggen og ned i ravinedalen, dette er vist på tegning 414130-3 og på beregningsprofilene -400.3, -400.4, -401.3, -402.3 og -403.3.

Volum masseflytning er anslått til ca 20.000 m<sup>3</sup>. Det må påregnes noe overskuddsmasser som må transporteres bort fra området, anslagsvis 5.000 m<sup>3</sup>. Disse massene kan trolig deponeres på vestsiden av terregnryggen.

## 9. Referanser

/1/	Multiconsult rapport 414130-1. <i>Skjetlein vgs. Reguleringsplan. Kvikkleiresone. Grunnundersøkelser.</i> Datert 29. april 2011.
/2/	Multiconsult brev. Skjetlein vgs – Utredning kvikkleire. Forslag til arbeidsopplegg og undersøkelser. Datert 7. oktober 2010.
/3/	e-post fra NVE 25.6.2010.
/4/	Karlsrud, K. (2003). <i>Tolkning og fastlegging av jordparametere. Karakteristisk jordprofil.</i> NGF-kurs. Stabilitetsanalyser av skråninger, skjæringer og fyllinger, innlegg 4.1. 20-22 mai 2003, Hell.
/5/	Ladd, C.C., and Foott, R. (1974). <i>New design procedure for stability of soft clays.</i> J. of the Geotech. Eng. Div., 100 (GT7), 763-786.
/6/	NVE (2009). <i>Retningslinjer for planlegging og utbygging i fareområder langs vassdrag.</i>
/7/	CPTU EXTRA. <i>Regneark for avansert tolkning av CPTU.</i> Brukermanual utviklet av Rolf Sandven. Datert 06.10.2009.
/8/	Lunne, T., Robertson, P.K. og Powell, J.J.M. (1997). <i>Cone Penetration Testing in Geotechnical Practice.</i> Blackie Academic & Professional.
/9/	Karlsrud, K. et al. (2005). <i>CPTU correlations for clays.</i> Proceedings, ICSMGE, Osaka s 693 - 702.
/10/	NGI-rapport 20001008-2 Rev. 3 (2008). <i>Program for økt sikkerhet mot leirskred. Metode for kartlegging og klassifisering av faresoner, kvikkleire.</i>
/11/	Karlsrud K. Lunne T. & Brattlien K. (1996) <i>Improved CPTU correlations based on block samples.</i> Proceedings, NGM 1996, Reykjavik

## Arkivreferanser:

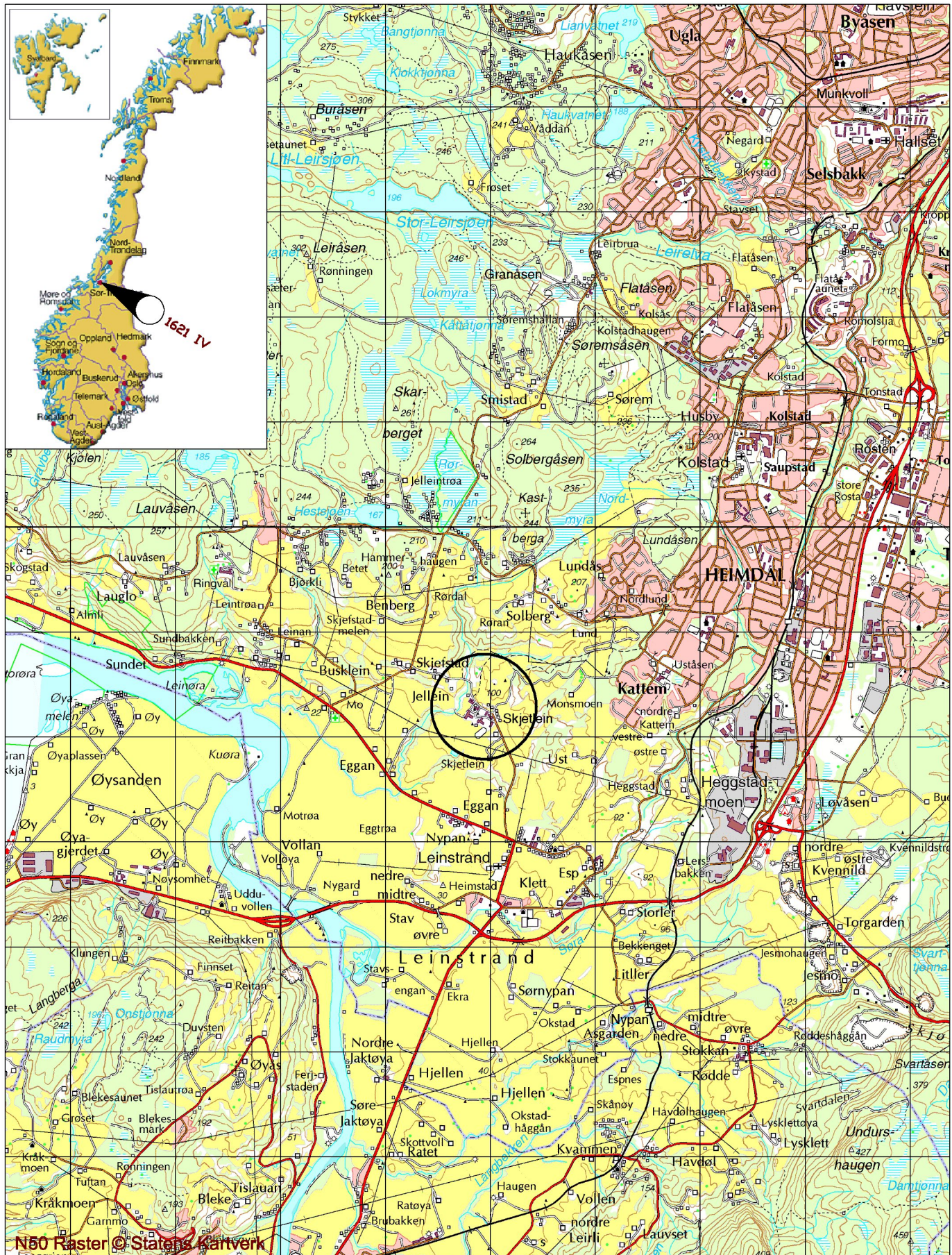
Fagområde:	Geoteknikk	
Stikkord:	Leire - Kvikkleire	
Land/Fylke:	Sør-Trøndelag	Kartblad: 1621IV
Kommune:	Trondheim	UTM koordinater, Sone: 32
Sted:	Skjetelein	Øst: 5650 Nord: 70243

## Distribusjon:

- Begrenset (Spesifisert av Oppdragsgiver)  
 Intern  
 Fri

## Dokumentkontroll:

		Dokument		Revisjon 1		Revisjon 2		Revisjon 3	
		Dato	Sign	Dato	Sign	Dato	Sign	Dato	Sign
Forutsetninger	Utarbeidet	17.06.09	SGH	26.09.11	SGH	22/11-11	SGH		
	Kontrollert	17.06.09	HAN	26.09.11	HAN	22/11-11	HAN		
Grunnlags-data	Utarbeidet	17.06.09	SGH	26.09.11	SGH	22/11-11	SGH		
	Kontrollert	17.06.09	HAN	26.09.11	HAN	22/11-11	HAN		
Teknisk innhold	Utarbeidet	17.06.09	SGH	26.09.11	SGH	22/11-11	SGH		
	Kontrollert	17.06.09	HAN	26.09.11	HAN	22/11-11	HAN		
Format	Utarbeidet	17.06.09	SGH	26.09.11	SGH	22/11-11	SGH		
	Kontrollert	17.06.09	HAN	26.09.11	HAN	22/11-11	HAN		
Anmerkninger									
Godkjent for utsendelse (Oppdragsansvarlig)					Dato: 22.11.2011	Sign: 			



## OVERSIKTSKART

Sør-Trøndelag fylkeskommune  
Skjetlein videregående skole

Målestokk

1:50 000



MULTICONSULT

MULTICONSULT AS

7486 Trondheim  
Tlf: 73 10 62 00 - Faks: 73 10 62 30/70

Dato

21.03.2011

Tegnet

JMP

Kontrollert

SGH

Godkjent

OAA

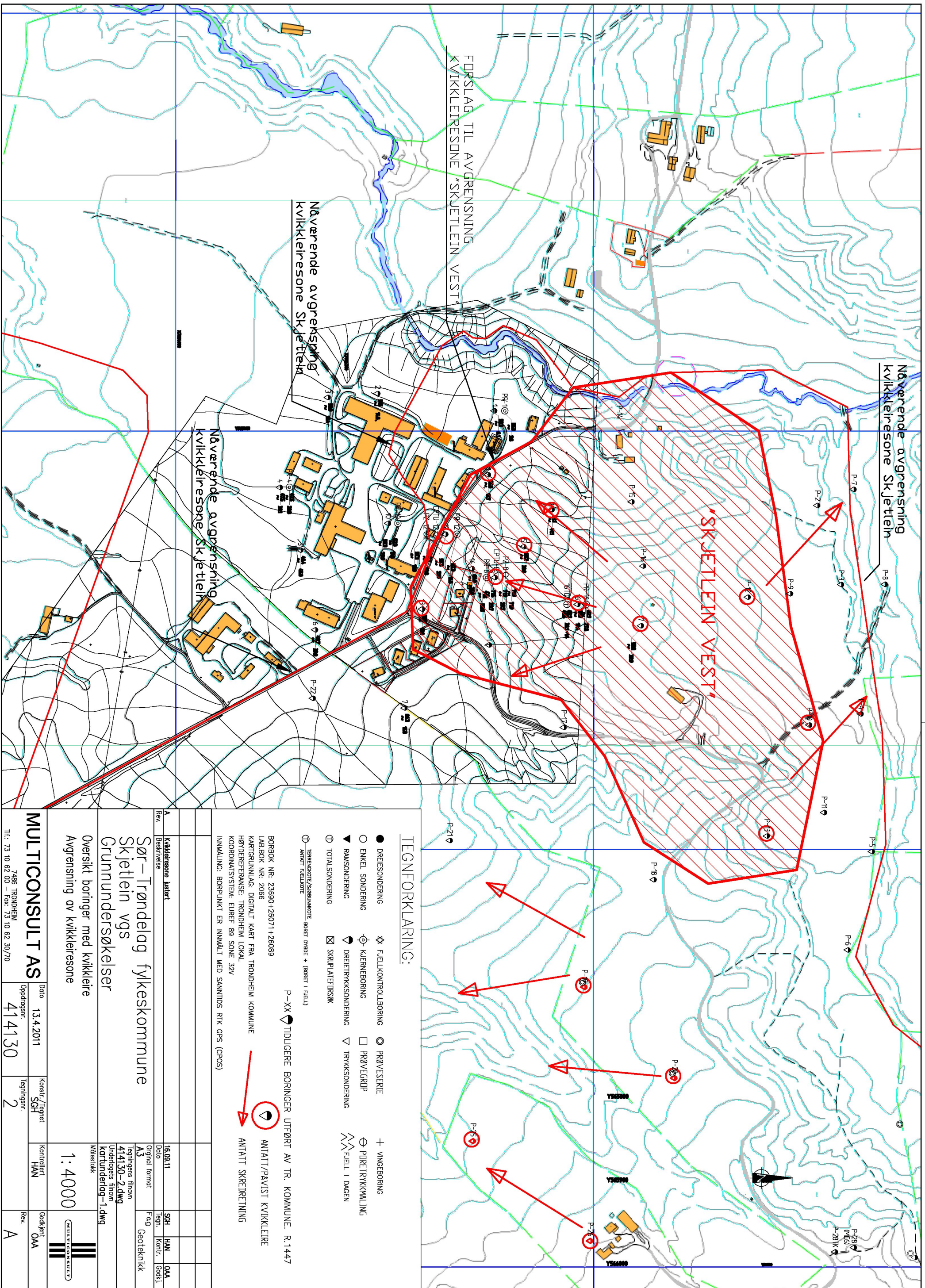
Oppdragsnr.

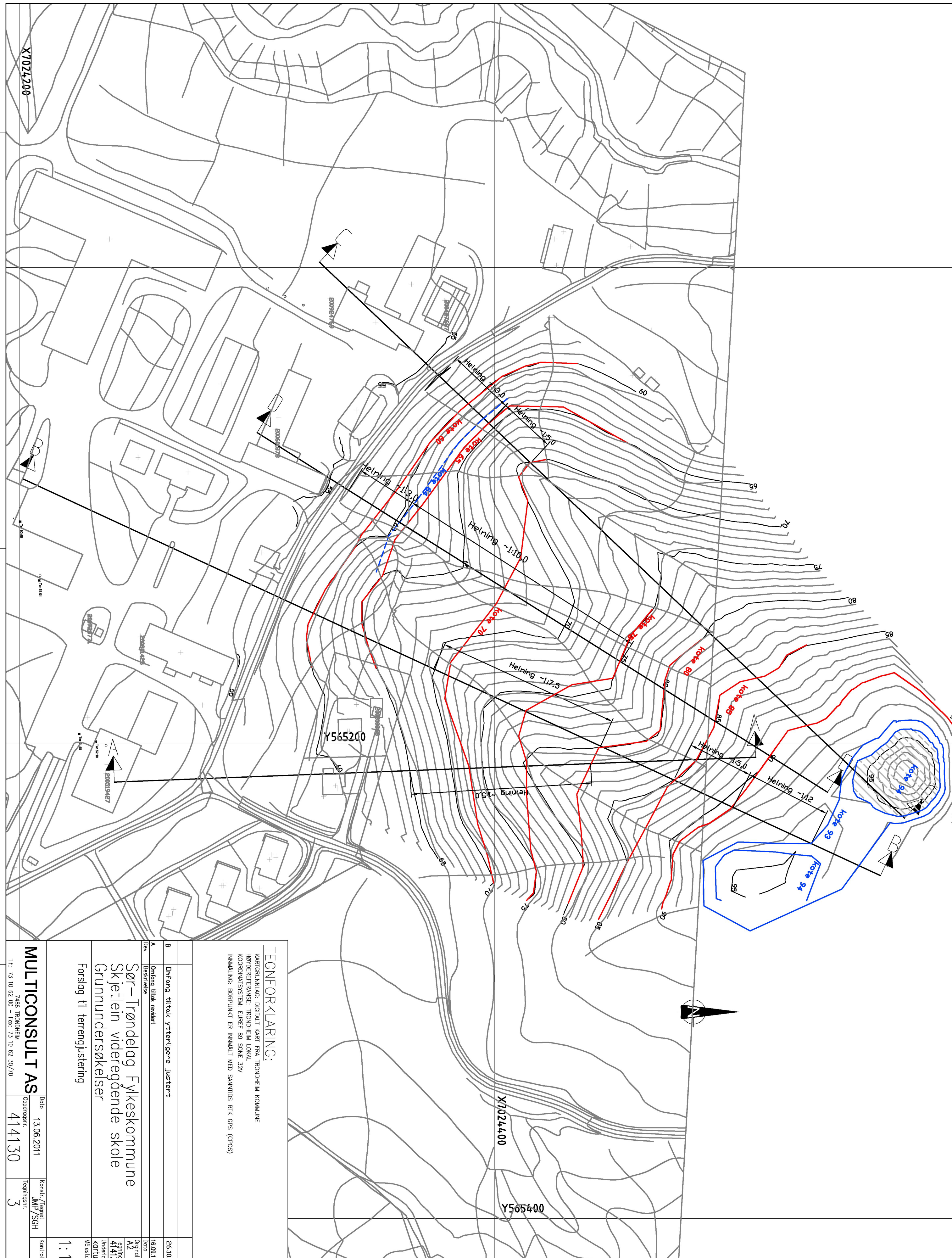
414130

Tegningsnr.

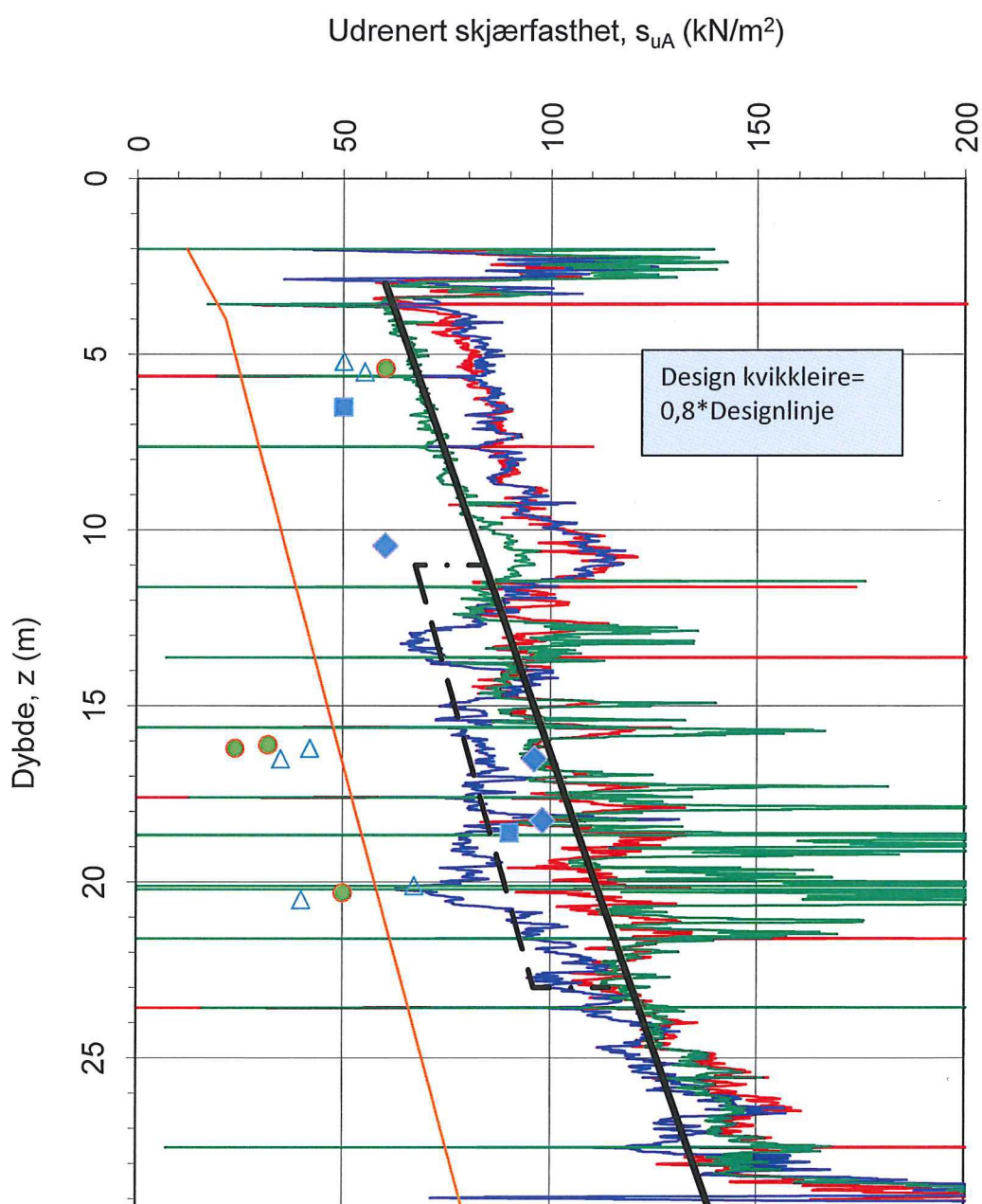
0

Rev.





<b>MULTICONSULT AS</b>	Dato 13.06.2011	Konstr./Tempel/SGH	Kontrollert SGH	Godkjent OMA
	Tlf.: 73 10 62 00 – Fax: 73 10 62 39/70	Oppdragst. 414130	Tegningst. 3	Rev. B



$$N_{kt} = (18,7 - 12,5 \cdot B_q)$$

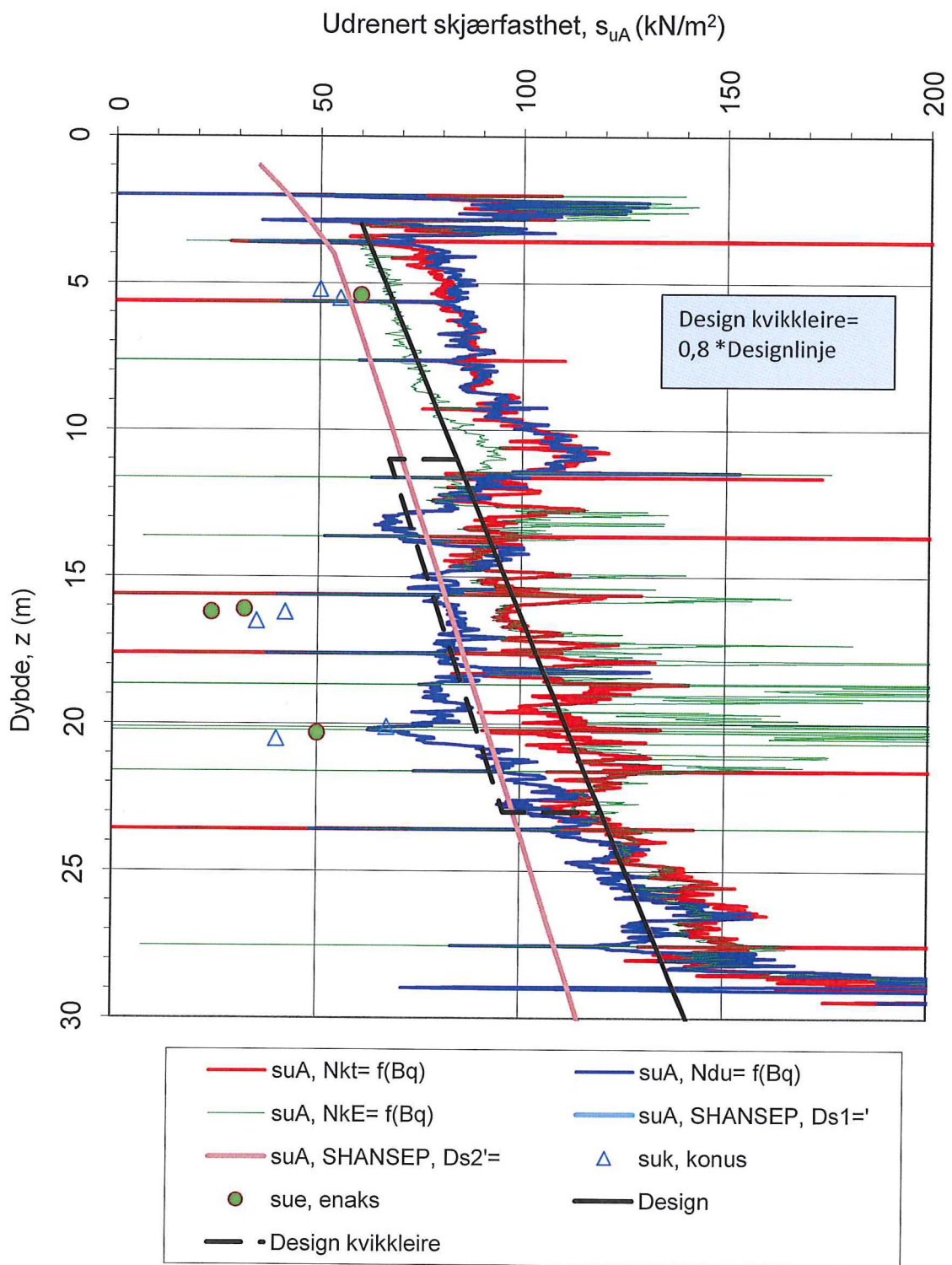
$$N_{Du} = (1,8 + 7,25 \cdot B_q)$$

$$N_{ke} = (13,8 - 12,5 \cdot B_q)$$

$\alpha_c$  valgt: 0,25

Oppdragsgiver:	Oppdrag:			Tegningens filnavn:
<b>Sør-Trøndelag fylkeskommun Skjetlein vgs</b>				0
Aktiv udrenert skjærfasthet $s_{uA}$ , korrelert mot $B_q$ .				
CPTU id.:	8	Sonde:	4354	
MULTICONULT AS	Dato: 29.05.2011	Tegnet: sgh	Kontrollert: han	Godkjent: oaa
	Oppdrag nr.: 414130	Tegning nr.: 40.6	Versjon: 25.02.2011	Revisjon: A





$$N_{kt}: (18,7-12,5B_q)$$

$$N_{Du}: (1,8+7,25B_q)$$

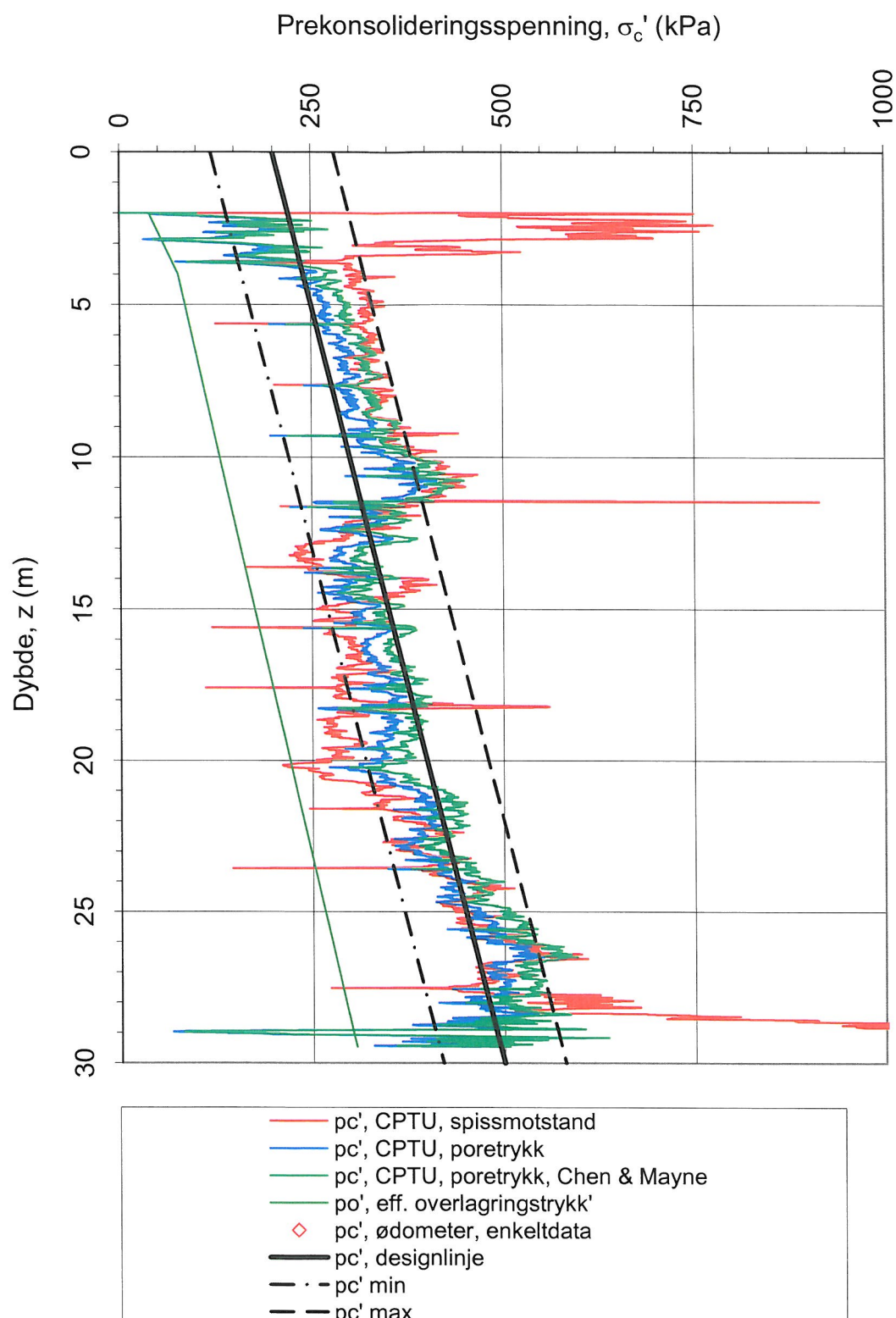
$\alpha_c$  valgt: 0,25

Oppdragsgiver:

**Sør-Trøndelag fylkeskommun Skjetlein vgs**

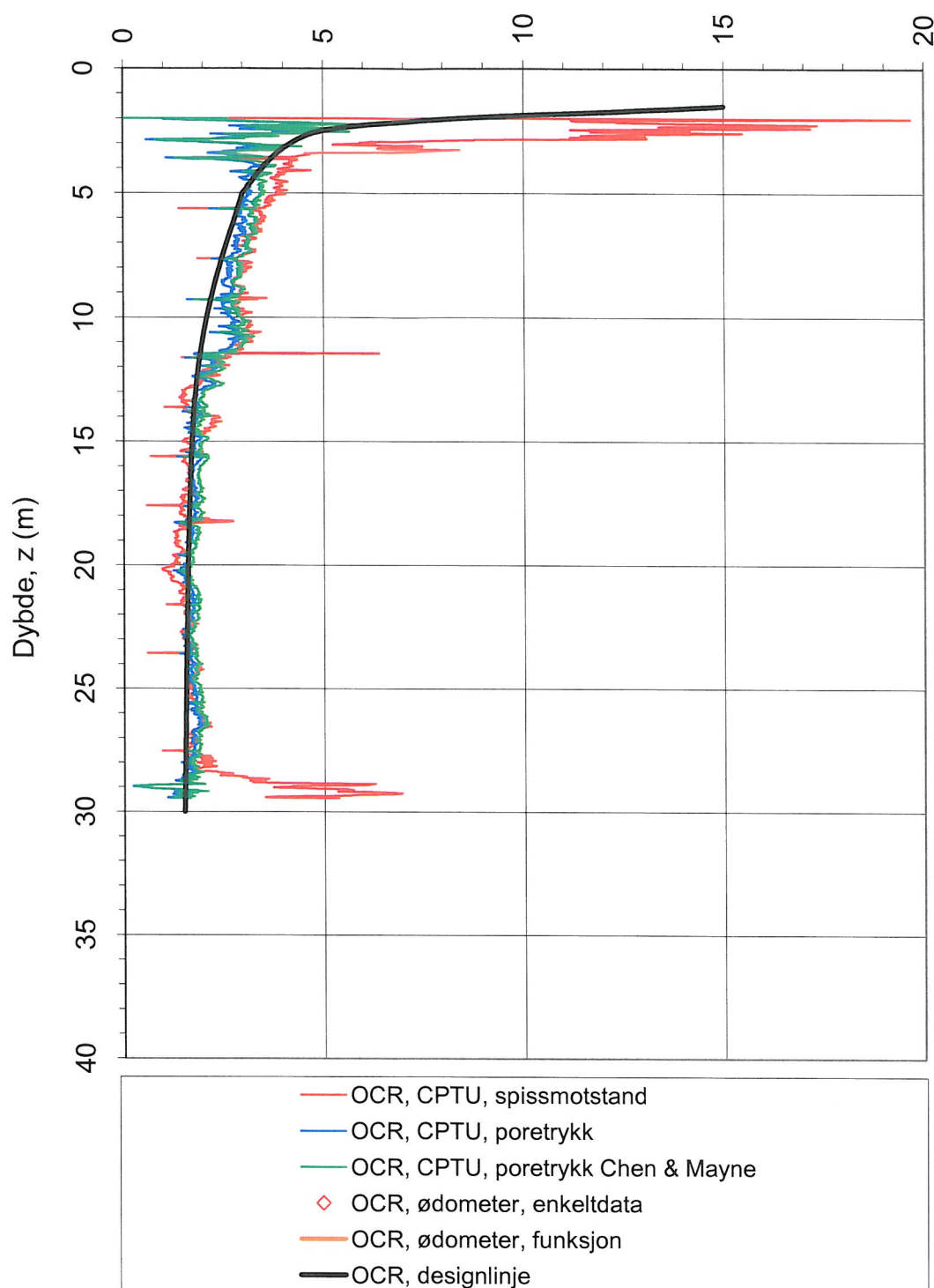
Aktiv udrenert skjærfasthet  $s_{uA}$ , verdier fra SHANSEP-analyse.

CPTU id.:	8	Sonde:	4354	Tegningens filnavn:
MULTICONULT AS	Dato: 29.05.2011	Tegnet: sgh	Kontrollert: han <i>H</i>	Godkjent: oaa
	Oppdrag nr.: 414130	Tegning nr.: 40.7	Versjon: 25.02.2011	Revisjon: A

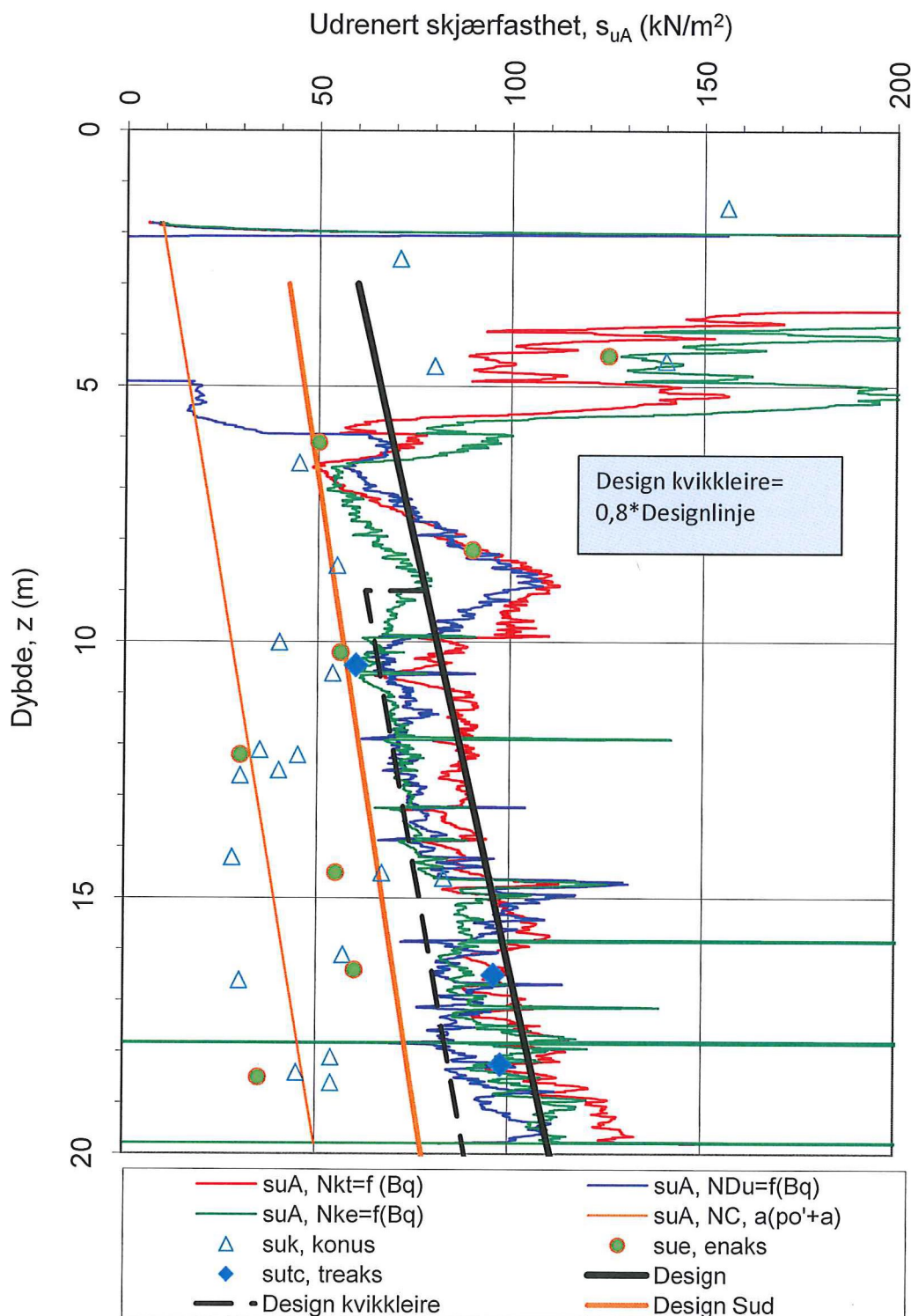


Oppdragsgiver:	Oppdrag:			Tegningens filnavn:
<b>Sør-Trøndelag fylkeskommun Skjetlein vgs</b>				0
Prekonsolideringsspenning $\sigma_c'$ .				
CPTU id.:	8	Sonde:	4354	MULTICONSULT
MULTICONSULT AS	Dato: 29.05.2011	Tegnet: sgh	Kontrollert: han	Godkjent: oaa
	Oppdrag nr.: 414130	Tegning nr.: 40.8	Versjon: 25.02.2011	Revisjon: 0

Prekonsolideringsforhold,  $\text{OCR} = \sigma_c' / \sigma_{vo}'$  (-)



Oppdragsgiver:	Oppdrag:			Tegningens filnavn:			
<b>Sør-Trøndelag fylkeskommun</b>				00.01.1900			
Skjetlein vgs				Multiconsult AS			
Overkonsolideringsforhold, $\text{OCR} = \sigma_c' / \sigma_{vo}'$ .							
CPTU id.: 8	Sonde: 4354						
MULTICONULT AS	Dato: 29.05.2011	Tegnet: sgh	Kontrollert: han	Godkjent: oaa			
	Oppdrag nr.: 414130	Tegning nr.: 40.9	Versjon: 25.02.2011	Revision: 0			



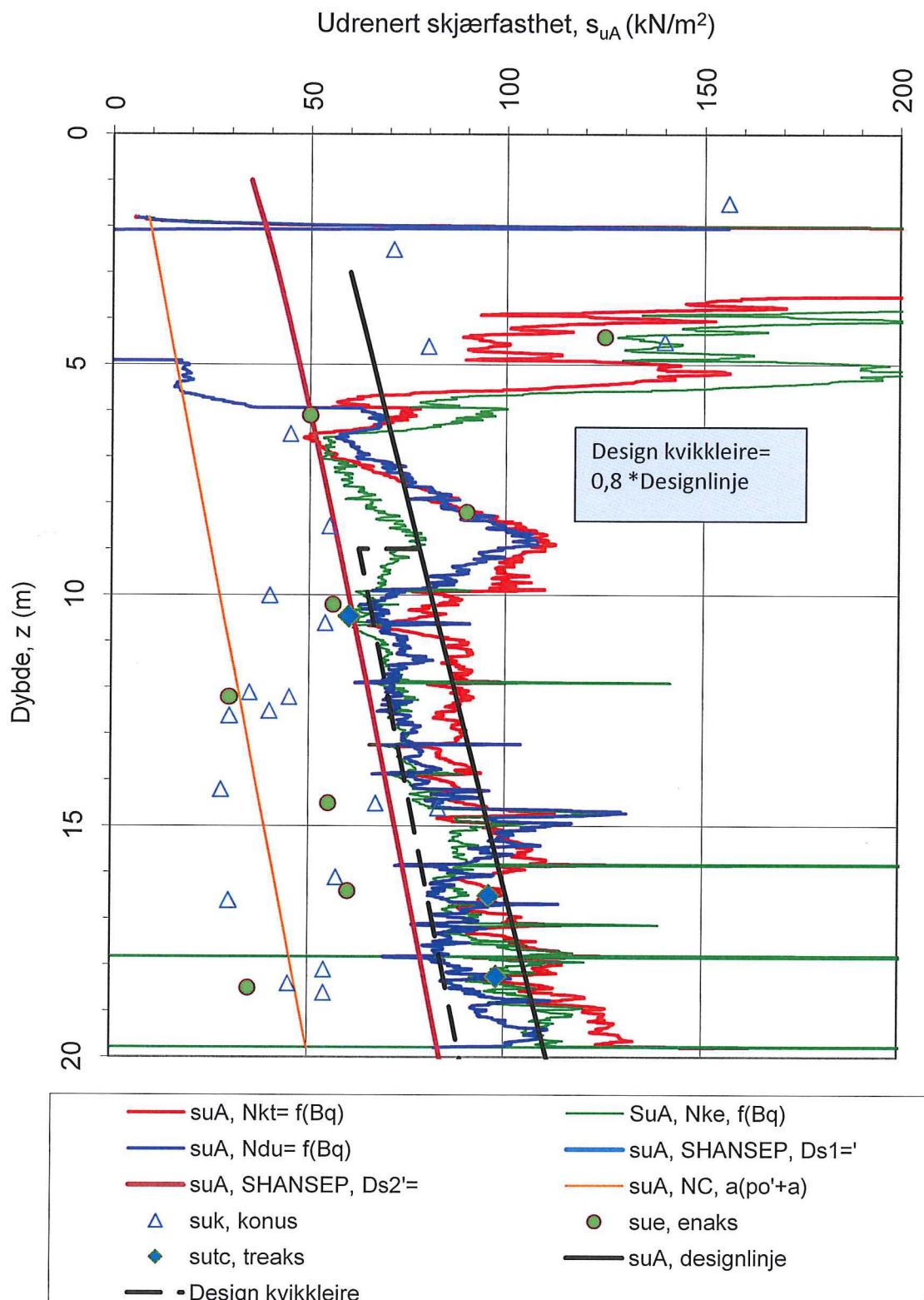
$$N_{kt} = (18,7 - 12,5 \cdot B_q)$$

$$N_{Du} = (1,8 + 7,25 \cdot B_q)$$

$$N_{ke} = (13,8 - 12,5 \cdot B_q)$$

$\alpha_c$  valgt: 0,25

Oppdragsgiver:	Oppdrag:	Tegningens filnavn:
<b>Sør-Trøndelag fylkeskommun</b>	<b>Skjetlein vgs</b>	
Aktiv udrenert skjærfasthet $s_{uA}$ , korrelert mot $B_q$ .		
CPTU id.:	12_m	Sonde: 4354
<b>MULTICONULT AS</b>	Dato: 29.05.2011	Tegnet: sgh
	Oppdrag nr.: 414130	Kontrollert: han
		Godkjent: oaa
		Revisjon: A



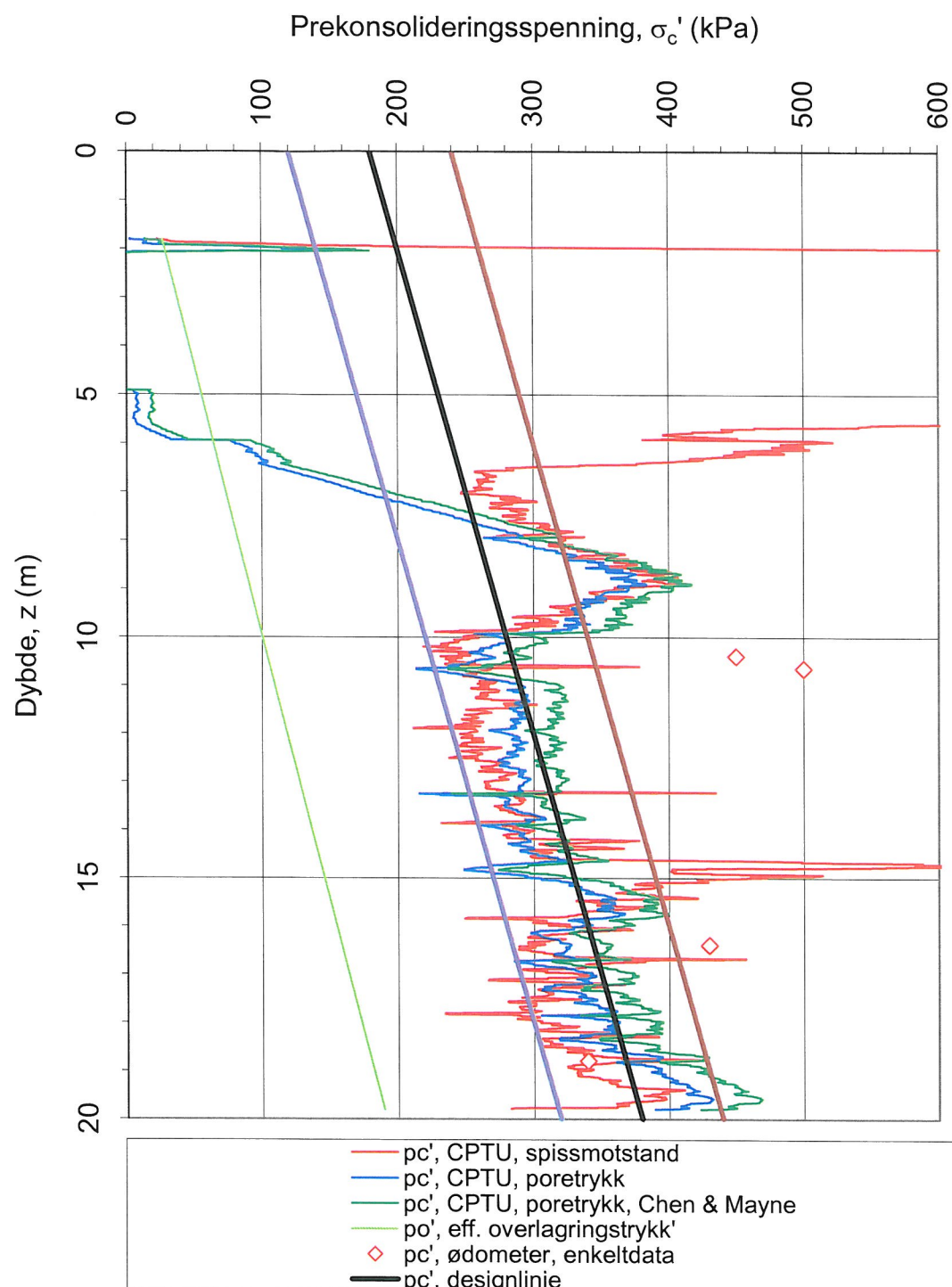
Oppdragsgiver: Oppdrag: Tegningens filnavn:

## Sør-Trøndelag fylkeskommun Skjetlein vgs

Aktiv udrenert skjærfasthet  $s_{uA}$ , verdier fra SHANSEP-analyse.

CPTU id.:	12_m	Sonde:	4354	Tegningens filnavn:
MULTICONULT AS	Dato: 29.05.2011	Tegnet: sgh	Kontrollert: han	Godkjent: oaa
	Oppdrag nr.: 414130	Tegning nr.: 41.7	Versjon: 25.02.2011	Revisjon: A





Oppdragsgiver:

**Sør-Trøndelag fylkeskommun Skjetlein vgs**

Prekonsolideringsspenning  $\sigma_c'$ .

Oppdrag:

Tegningens filnavn:

0



CPTU id.: 12\_m  
MULTICONULT AS

Sonde:

4354

Dato:  
29.05.2011

Tegnet:  
sgh

Kontrollert:  
han

Godkjent:  
oaa

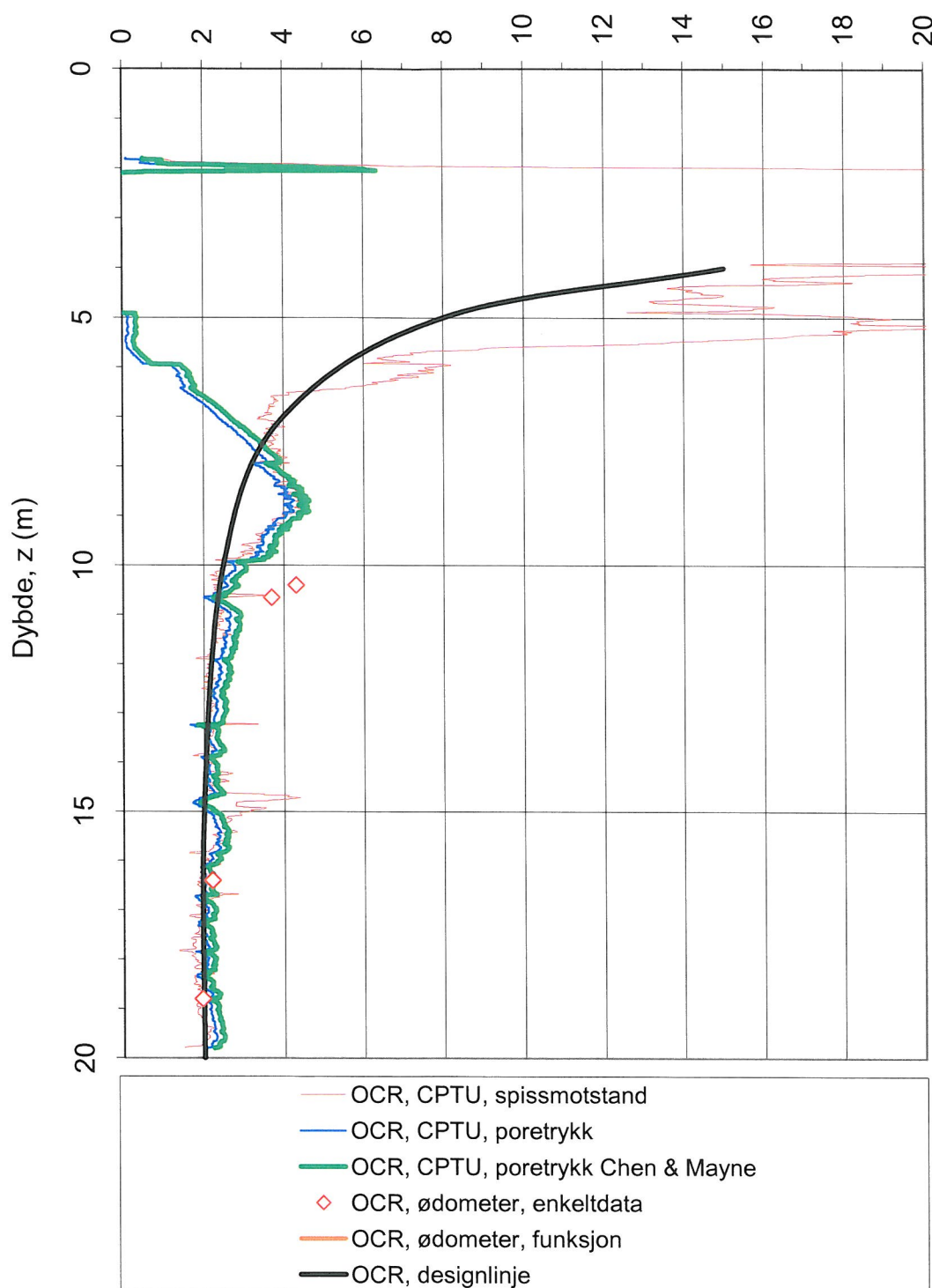
Oppdrag nr.:  
414130

Tegning nr.:  
41.8

Versjon:  
25.02.2011

Revisjon:  
0

Prekonsolideringsforhold,  $\text{OCR} = \sigma_c' / \sigma_{vo}'$  (-)



Oppdragsgiver:

**Sør-Trøndelag fylkeskommun Skjetlein vgs**

Overkonsolideringsforhold,  $\text{OCR} = \sigma_c' / \sigma_{vo}'$ .

Oppdrag:

Tegningens filnavn:

00.01.1900

CPTU id.:

12\_m

Sonde:

4354

MULTICONSULT AS

Dato:  
29.05.2011

Tegnet:  
sgh

Kontrollert:  
han



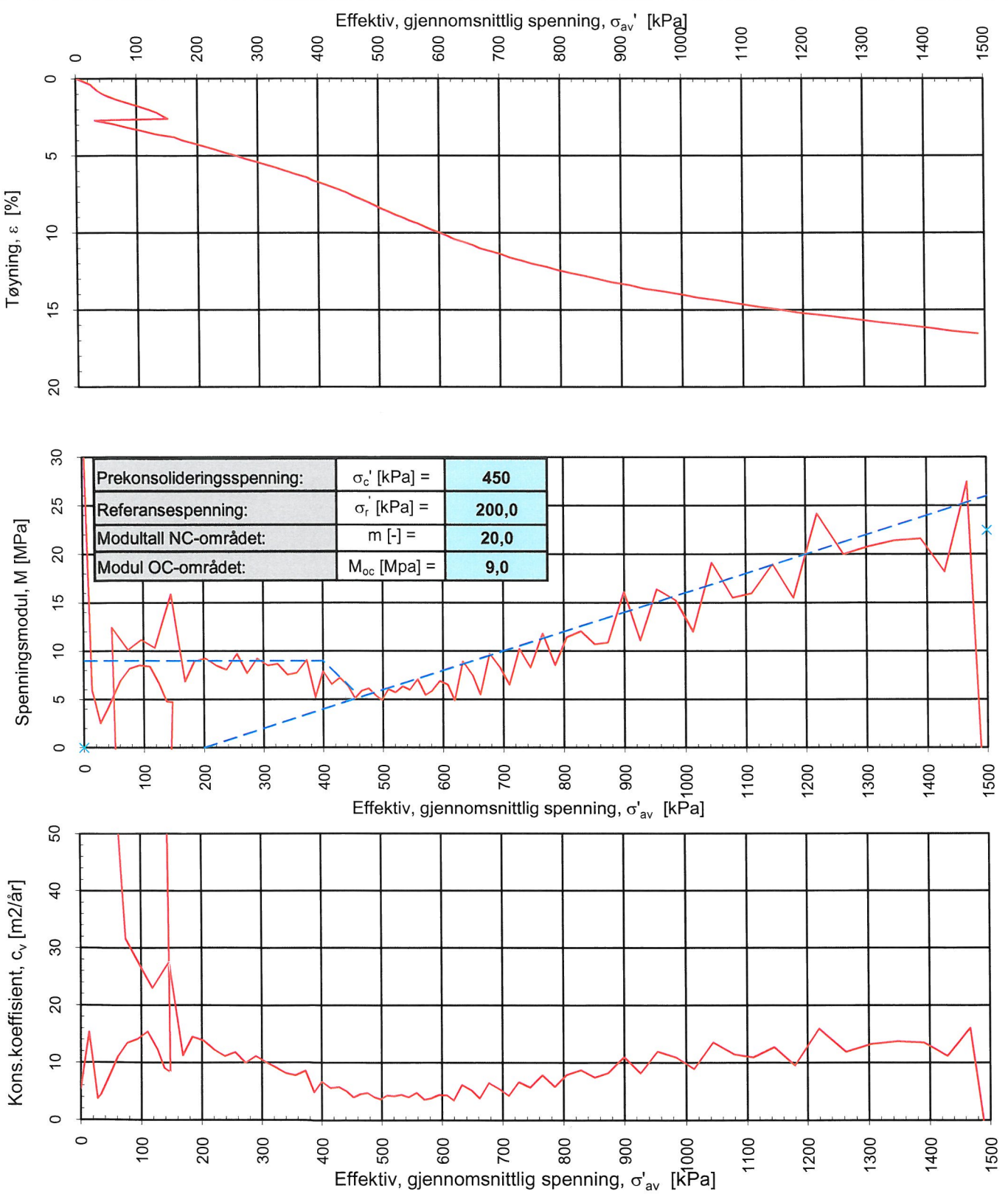
Godkjent:  
oaa

Oppdrag nr.:  
414130

Tegning nr.:  
41.9

Versjon:  
25.02.2011

Revisjon:  
0



## Sør-Trøndelag Fylkeskommune Skjetlein VGS

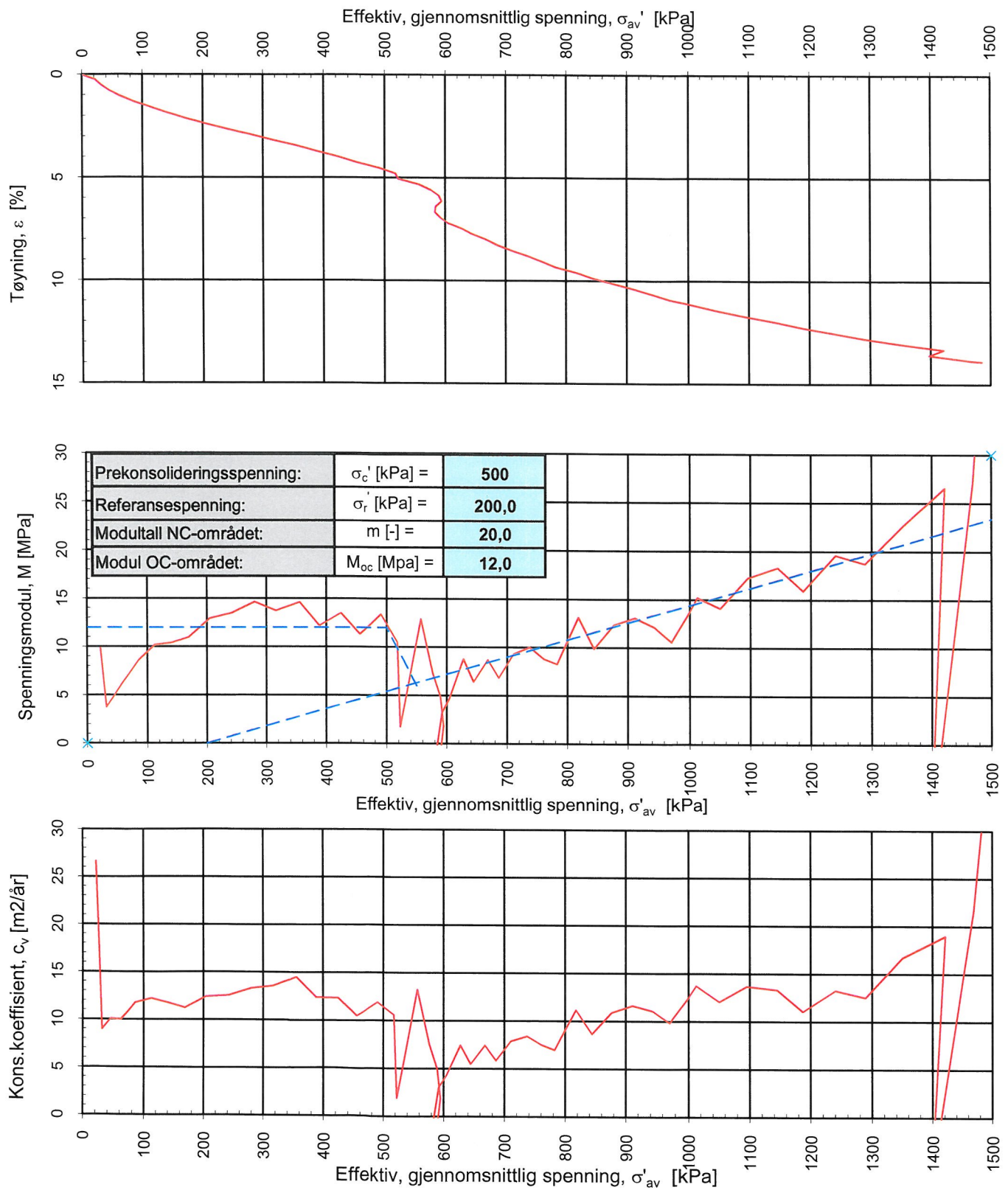
Kontinuerlig ødometerforsøk, CRS-rutine. Tolkning:  $\sigma'_{av}$  -  $\epsilon_a$ , M og  $c_v$ .

Tegningens filnavn:  
H12, dybde 10.40.xlsx



**MULTICONSULT AS**  
Sluppenvegen 23,  
7486 TRONDHEIM  
Tlf.: 73 10 62 00

Forsøksdato:	15.02.2011	Dybde, z (m):	10,40	Borpunkt nr.:	12
Forsøknr.:	2	Tegnet av:	kjt	Kontrollert:	sgh
Oppdrag nr.:	414130	Tegning nr.:	75.3	Prosedyre:	CRS
				Programrevisjon:	13.10.2009



**Sør-Trøndelag Fylkeskommune**  
**Skjetlein VGS**

Kontinuerlig ødometerforsøk, CRS-rutine. Tolkning:  $\sigma'_{av}$  -  $\varepsilon_a$ ,  $M$  og  $c_v$ .

Tegningens filnavn:  
H12, dybde 10.65.xlsx



**MULTICONSULT AS**

Sluppenvegen 23,  
7486 TRONDHEIM  
Tlf.: 73 10 62 00

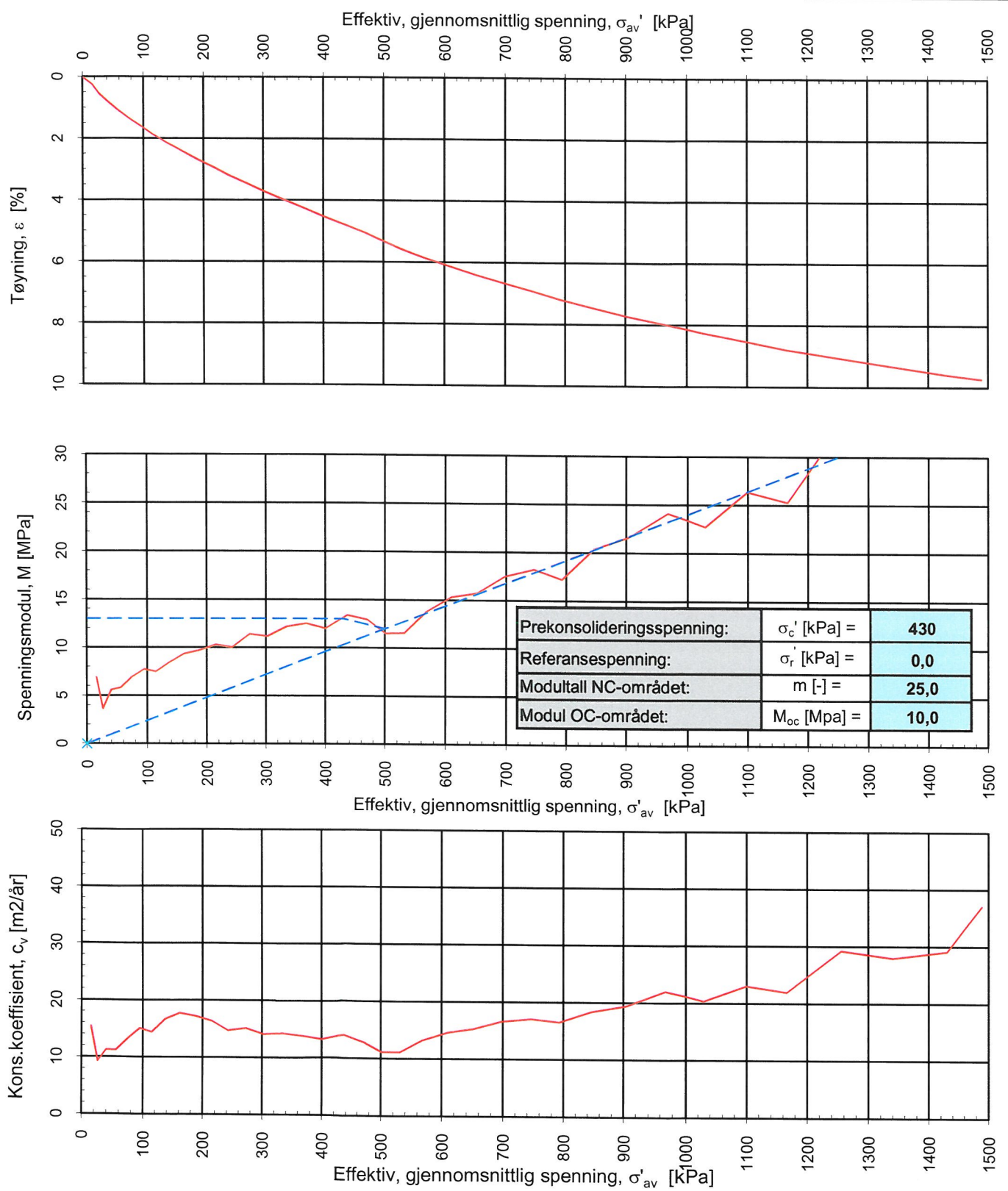
Forsøksdato:	15.02.2011	Dybde, z (m):	10,65	Borpunkt nr.:	12
Forsøknr.:	2	Tegnet av:	kjt	Kontrollert:	sgh
Oppdrag nr.:	414130	Tegning nr.:	76.3	Prosedyre:	CRS

Godkjent:

oaa

Programrevisjon:

13.10.2009



## Sør-Trøndelag Fylkeskommune Skjetlein VGS

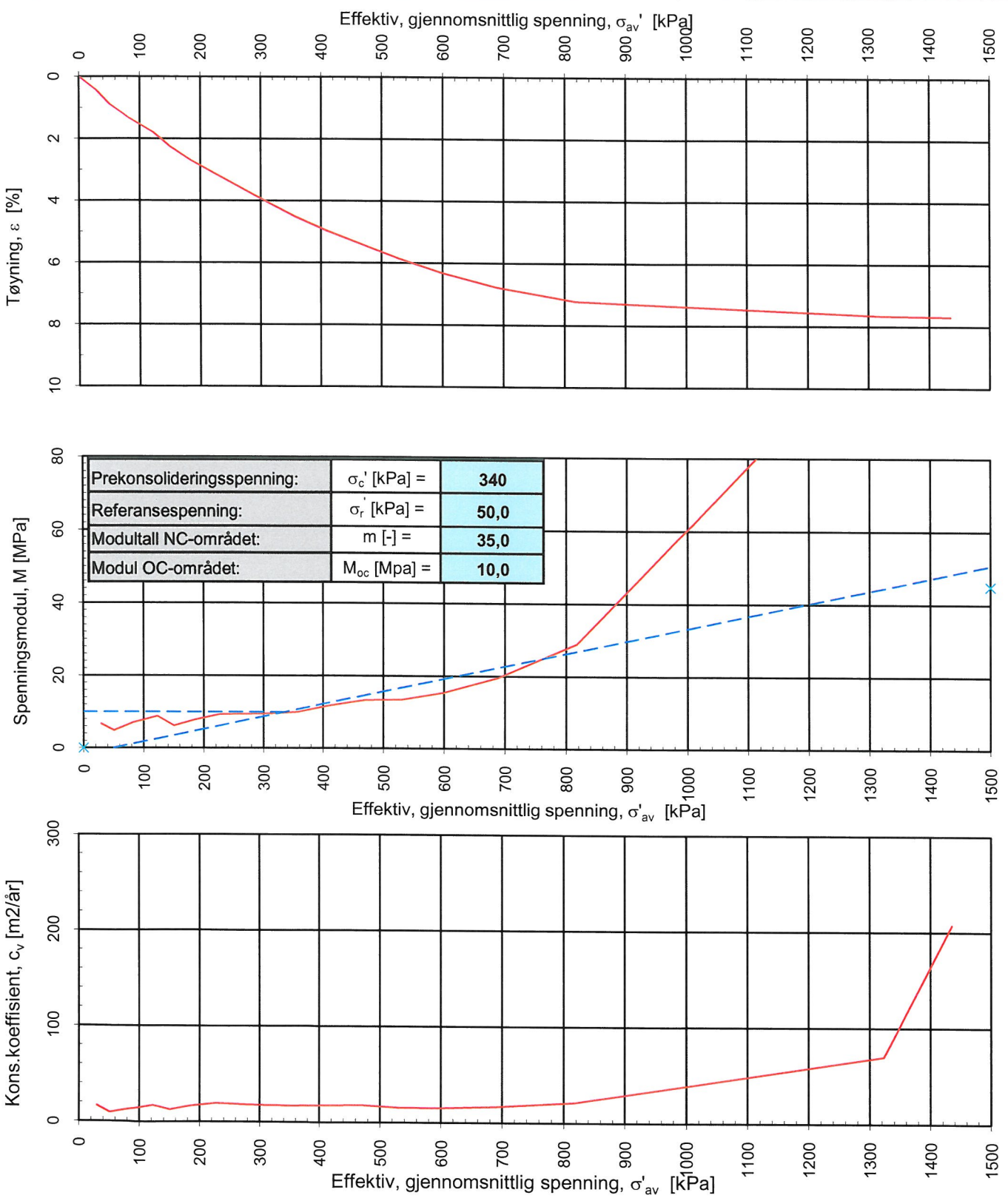
Kontinuerlig ødometerforsøk, CRS-rutine. Tolkning:  $\sigma'_{av}$  -  $\epsilon_a$ ,  $M$  og  $c_v$ .

Tegningens filnavn:  
H12, dybde 16.40m.xlsx



**MULTICONSULT AS**  
Sluppenvegen 23,  
7486 TRONDHEIM  
Tlf.: 73 10 62 00

Forsøksdato:	02.02.2011	Dybde, z (m):	16,40	Borpunkt nr.:	12
Forsøknr.:	1	Tegnet av:	kjt	Kontrollert:	sgh
Oppdrag nr.:	414130	Tegning nr.:	77.3	Prosedyre:	CRS
				Programrevisjon:	13.10.2009



**Sør-Trøndelag Fylkeskommune**  
**Skjetlein VGS**

Kontinuerlig ødometerforsøk, CRS-rutine. Tolkning:  $\sigma'_{av}$  -  $\epsilon_a$ ,  $M$  og  $c_v$ .

Tegningens filnavn:  
H12, dybde 18,18m.xlsx



**MULTICONSULT AS**

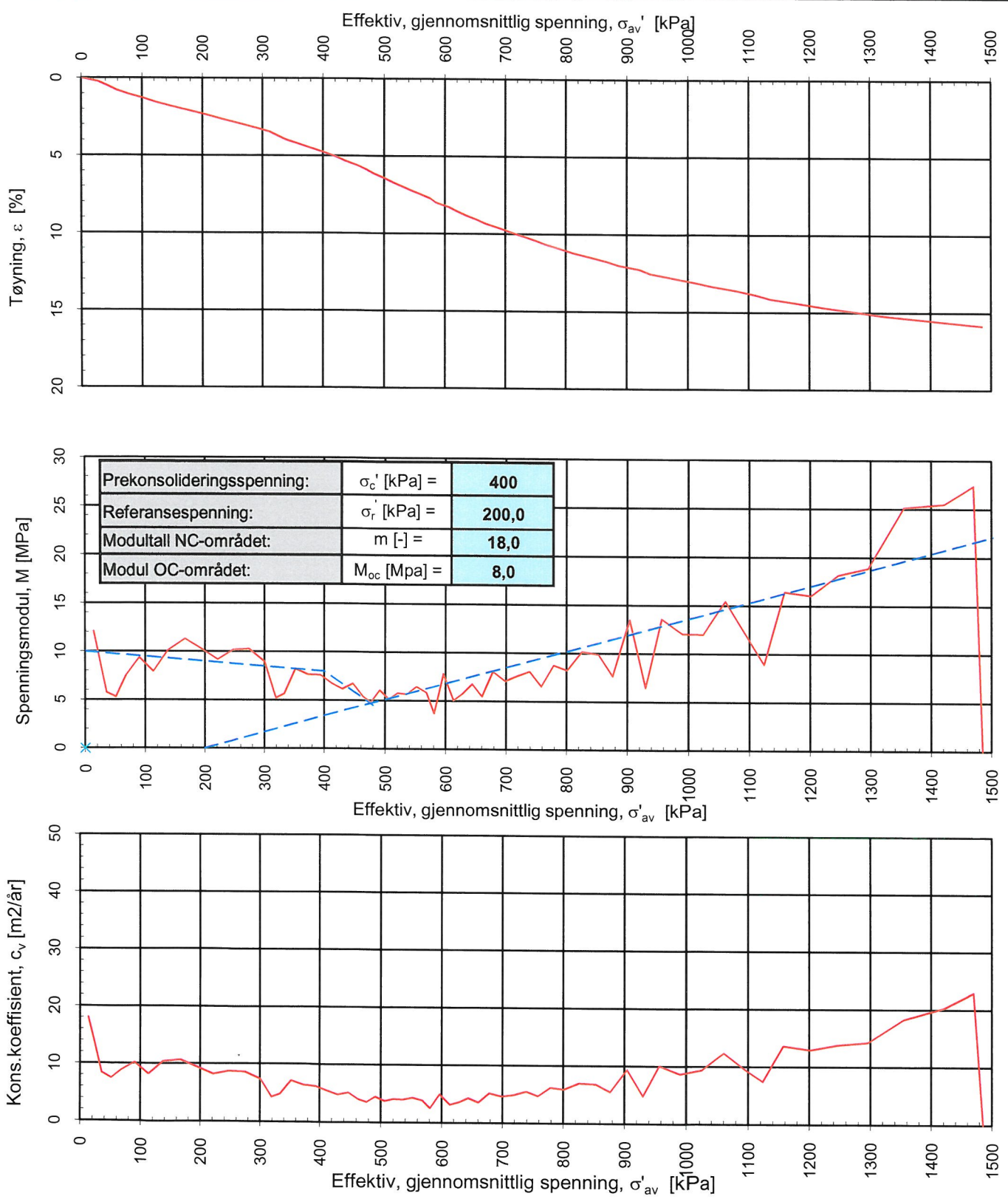
Sluppenvegen 23,  
7486 TRONDHEIM  
Tlf.: 73 10 62 00

Forsøksdato: 27.02..2011  
Dybde, z (m): 18,18  
Borpunkt nr.: 12

Forsøknr.: 5  
Tegnet av: kjt  
Kontrollert: sgh

Oppdrag nr.: 414130  
Tegning nr.: 78.3  
Prosedyre: CRS

Godkjent: oaa  
Programrevisjon: 13.10.2009



## Sør-Trøndelag Fylkeskommune Skjetlein VGS

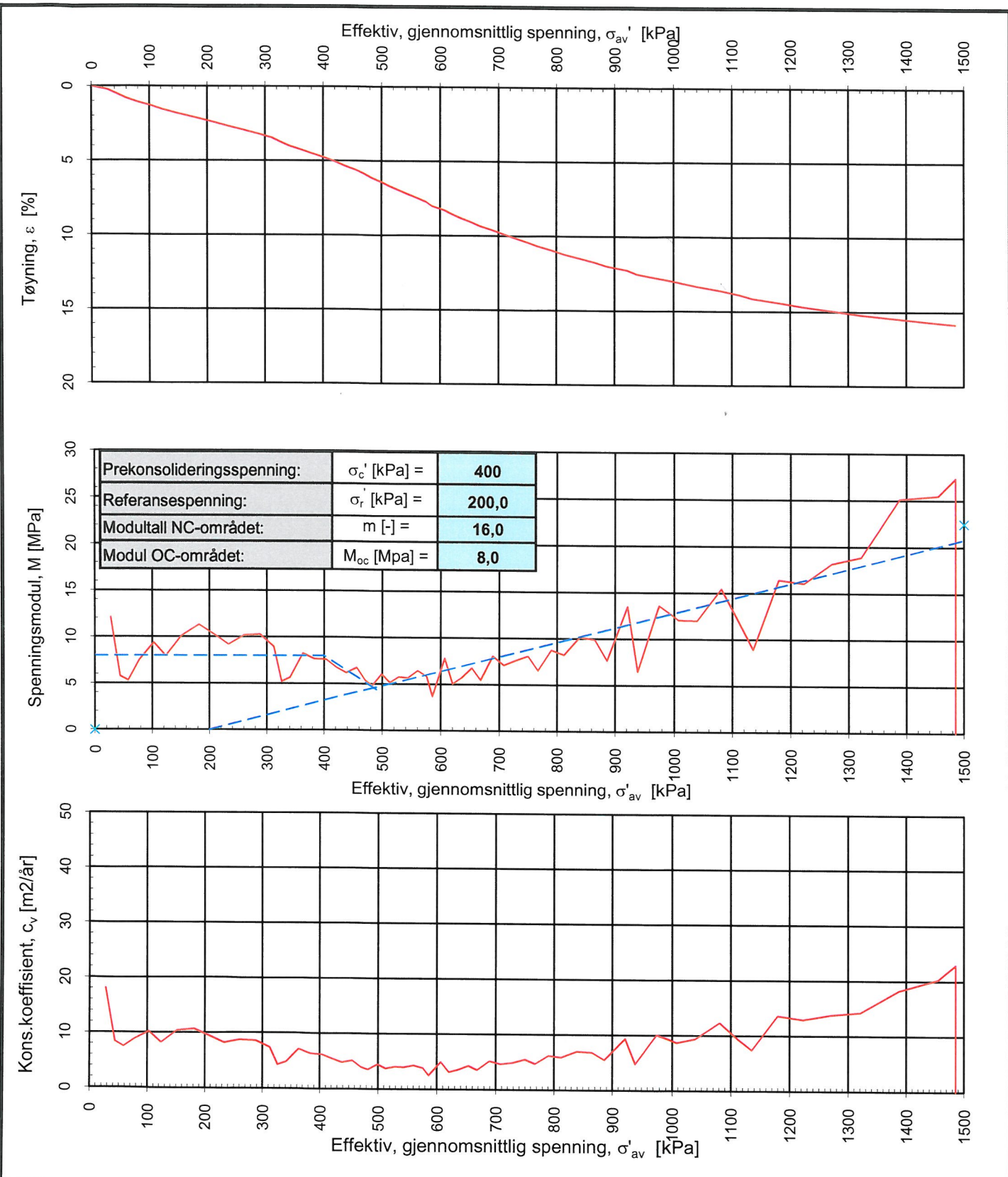
Kontinuerlig ødometerforsøk, CRS-rutine. Tolkning:  $\sigma'_{av}$  -  $\varepsilon_a$ ,  $M$  og  $c_v$ .

Tegningens filnavn:  
H16, dybde 6.32m.xlsx



**MULTICONSULT AS**  
Sluppenvegen 23,  
7486 TRONDHEIM  
Tlf.: 73 10 62 00

Forsøksdato:	02.02.2011	Dybde, z (m):	6,32	Borpunkt nr.:	16
Forsøknr.:	1	Tegnet av:	kjt	Kontrollert:	sgh
Oppdrag nr.:	414130	Tegning nr.:	79.3	Prosedyre:	CRS
				Godkjent:	oaa
				Programrevisjon:	13.10.2009



**Sør-Trøndelag Fylkeskommune**  
**Skjetlein VGS**

Kontinuerlig ødometerforsøk, CRS-rutine. Tolkning:  $\sigma'_{av}$  -  $\varepsilon_a$ , M og  $c_v$ .

Tegningens filnavn:  
H16, dybde 18,15m.xlsx



**MULTICONSULT AS**  
Sluppenvegen 23,  
7486 TRONDHEIM  
Tlf.: 73 10 62 00

Forsøksdato:  
04.03.2011

Dybde, z (m):  
18,15

Borpunkt nr.:  
16

Forsøknr.:

6

Tegnet av:

kjt

Kontrollert:

sgh

Oppdrag nr.:

414130

Tegning nr.:

80.3

Prosedyre:

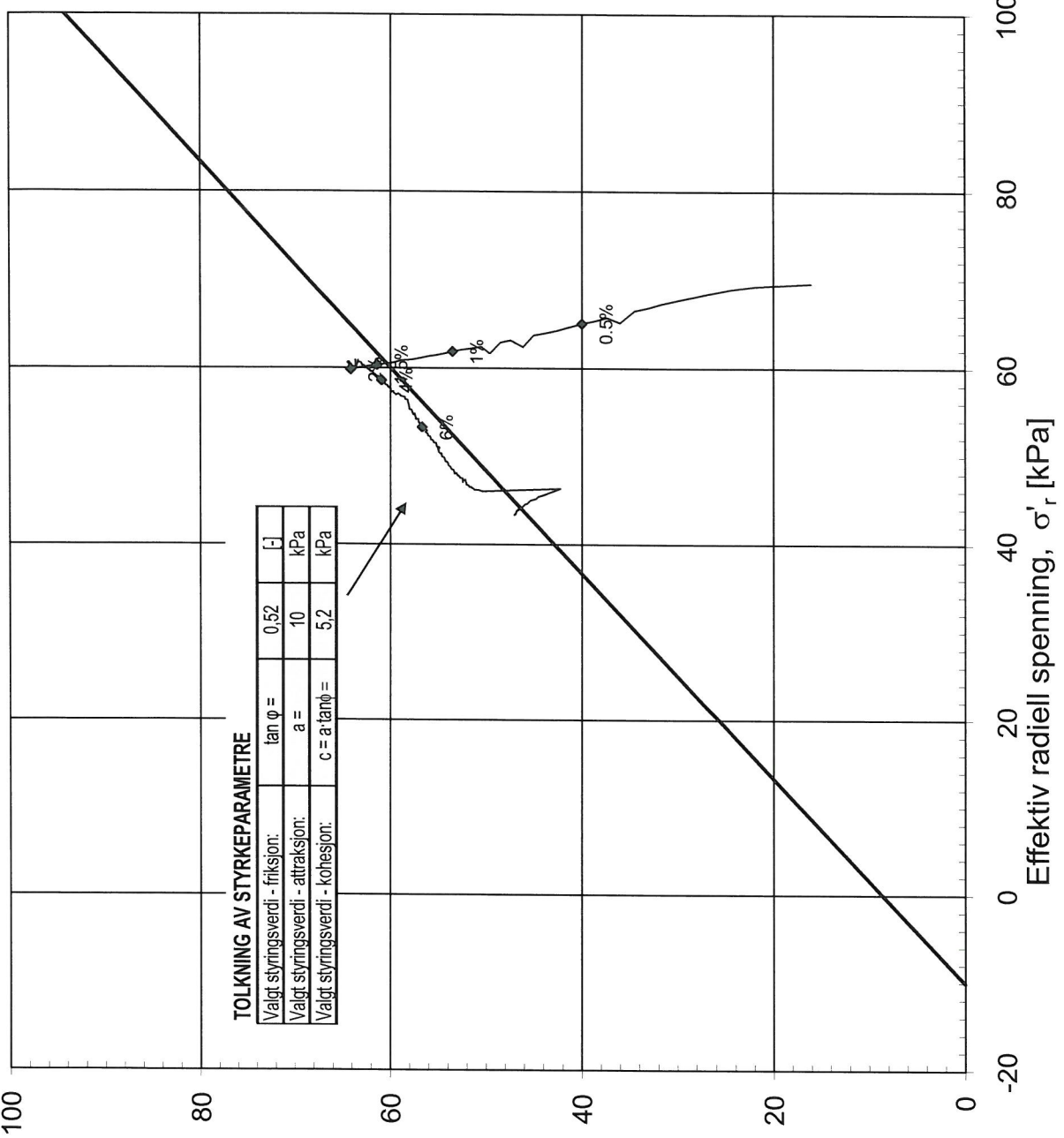
CRS

Godkjent:

oaa

Programrevisjon:

13.10.2009



Konsolideringsspenning, aksial:	$\sigma'_{ac}$ (kPa):	104,05
Konsolideringsspenning, radial:	$\sigma'_{rc}$ (kPa):	72,84
Volumtøyning i konsolideringsfase:	$\varepsilon_{vol}$ (%): $\Delta V/V_0$ :	3,36
Baktrykk $u_b$ (kPa):	B - verdi $= \Delta u/\Delta \sigma_c$ (-):	N/A
Vanninnhold $w_i$ (%):	Densitet $\rho_i$ (g/cm³):	1,94

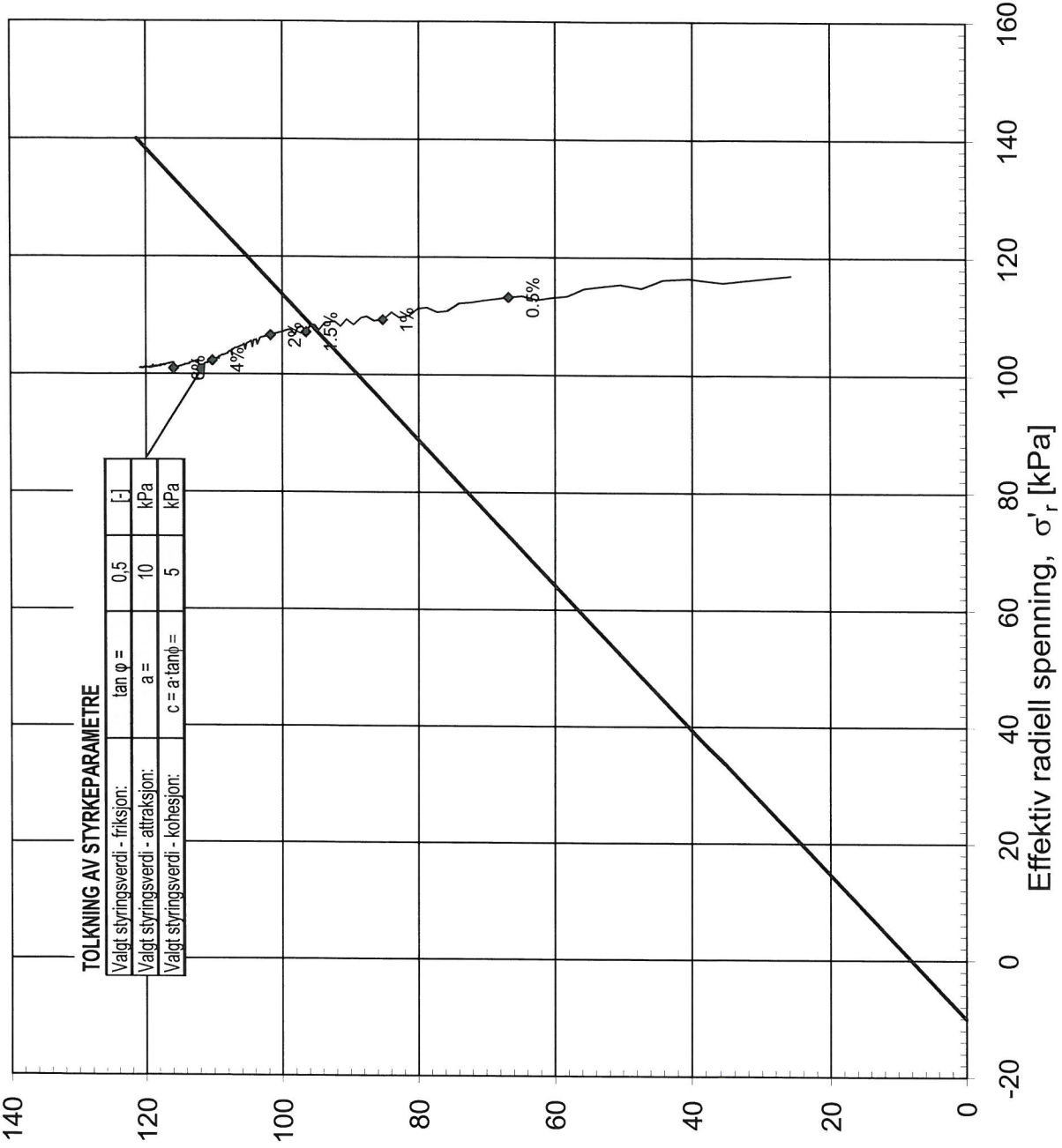
Sør-Trøndelag Fylkeskommune

Skjetlein VGS

Treaksialforsøk. Tolkning av parametre. NTNU-plott.

**MULTICONSULT AS**  
Sluppenvegen 23,  
7486 TRONDHEIM  
Tlf.: 73 10 62 00  
Faks: 73 10 62 30

Forsøksdato: 15.02.2011	Dybde, z (m): 10,45	Borpunkt nr.: 12	Tegningens filnavn: H12, dybde 10,45m.xlsx
Forsøk nr.: 2	Tegnet: kjt	Kontrollert: sgh	Etter volumtøyning:  Etter poretallsendring:
Oppdrag nr.: 414130	Tegning nr.: 85.3	Prosedyre: CAua	Godkjent: oaa  Programrevisjon: 02.02.2011



$$\text{Maks. skjærspenning, } \tau_{\max} = (\sigma'_a - \sigma'_r)/2 \text{ [kPa]}$$

Konsolideringsspenning, aksial:  $\sigma'_{ac}$  (kPa): 170,05

Konsolideringsspenning, radial:  $\sigma'_{rc}$  (kPa): 119,04

Volumtøyning i konsolideringsfase:  $\varepsilon_{vol}$  (%) =  $\Delta V/V_0$ : 3,56

Baktrykk  $u_b$  (kPa): 0 B - verdi =  $\Delta u/\Delta \sigma_c$  (-): N/A

Vanninnhold  $w_i$  (%): 23,35 Densitet  $\rho_i$  (g/cm³): 2,01

**Sør-Trøndelag Fylkeskommune**

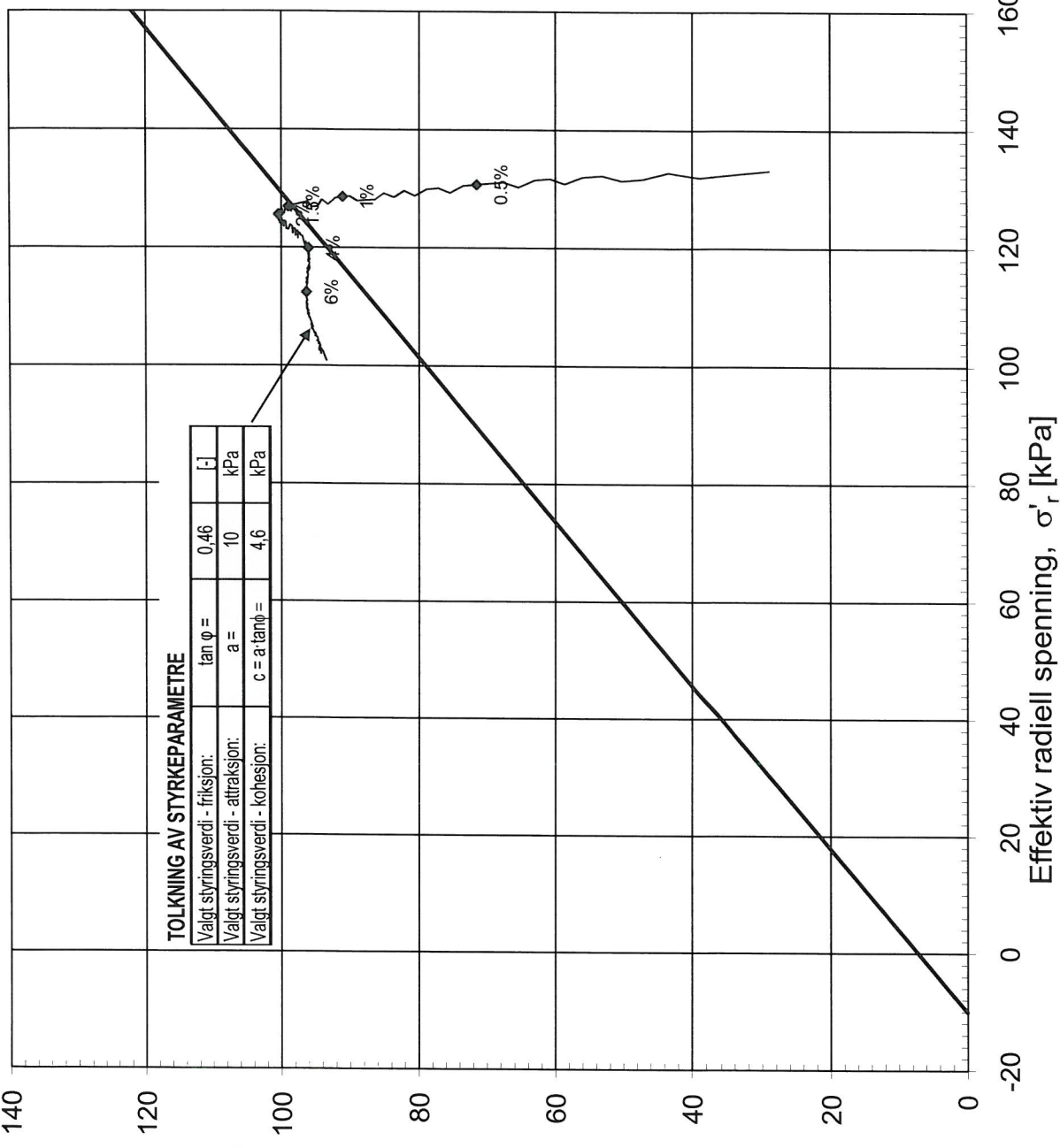
**Skjetlein VGS**

Treaksialforsøk. Tolkning av parametre. NTNU-plott.

**MULTICONSULT AS**

Sluppenvegen 23,  
7486 TRONDHEIM  
Tlf.: 73 10 62 00  
Faks: 73 10 62 30

Forsøksdato:	Dybde, z (m):	Borpunkt nr.:	Tegningens filnavn:
15.12.2011	16,50	12	H12, dybde 16,50m.xlsx
Forsøk nr.:	Tegnet:	Kontrollert:	Etter volumtøyning:
3	kjt	sgh	
Oppdrag nr.:	Tegning nr.:	Prosedyre:	Godkjent:
414130	86.3	CAUa	oaa
			Programrevisjon:
			02.02.2011



$$\text{Maks. skjærspenning, } \tau_{\max} = (\sigma'_a - \sigma'_r)/2 \text{ [kPa]}$$

Konsolideringsspenning, aksial:  $\sigma'_{ac}$  (kPa): 192,50

Konsolideringsspenning, radial:  $\sigma'_{rc}$  (kPa): 134,75

Volumtøyning i konsolideringsfase:  $\varepsilon_{vol}$  (%) =  $\Delta V/V_0$ : 2,89

Baktrykk  $u_b$  (kPa): 0 B - verdi =  $\Delta u/\Delta \sigma_c$  (-): N/A

Vanninnhold  $w_i$  (%): 28,20 Densitet  $\rho_i$  (g/cm³): 2,04

**Sør-Trøndelag Fylkeskommune**

**Skjetlein VGS**

Treaksialforsøk. Tolkning av parametre. NTNU-plott.

**MULTICONULT AS**

Slippenvegen 23,  
7486 TRONDHEIM  
Tlf.: 73 10 62 00  
Faks: 73 10 62 30

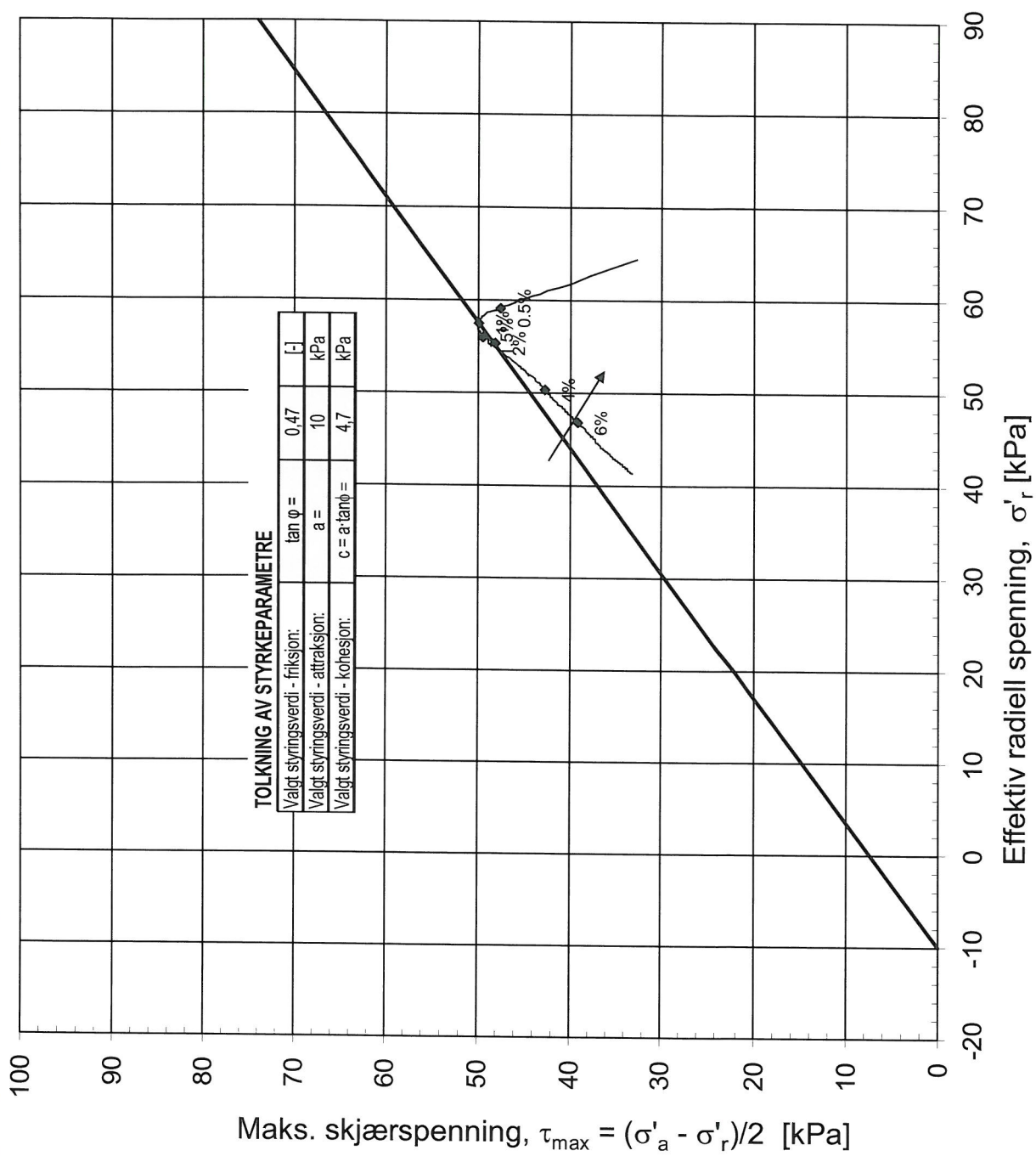
Forsøksdato: 27.02.2011 Dybde, z (m): 18,25 Borpunkt nr.: 12

Forsøk nr.: 4 Tegnet: kjt Kontrollert: sgh Godkjent: oaa

Oppdrag nr.: 414130 Tegning nr.: 87.3 Prosedyre: CAUa Programrevisjon:

Tegningens filnavn:  
H12, dybde 18,25m.xlsx





$$\text{Maks. skjærspenning, } \tau_{\max} = (\sigma'_a - \sigma'_r)/2 \text{ [kPa]}$$

Konsolideringsspenning, aksial:

$\sigma'_{ac}$  (kPa): 94,18

Konsolideringsspenning, radial:

$\sigma'_{rc}$  (kPa): 61,22

Volumtøyning i konsolideringsfase:

$\varepsilon_{vol}$  (%) =  $\Delta V/V_0$ : 0,71

Baktrykk  $u_b$  (kPa): 300

B - verdi =  $\Delta u/\Delta \sigma_c$  (-): 0,99

Vanninnhold  $w_i$  (%): 36,90

Densitet  $\rho_i$  (g/cm³): 1,88

### Sør-Trøndelag Fylkeskommune

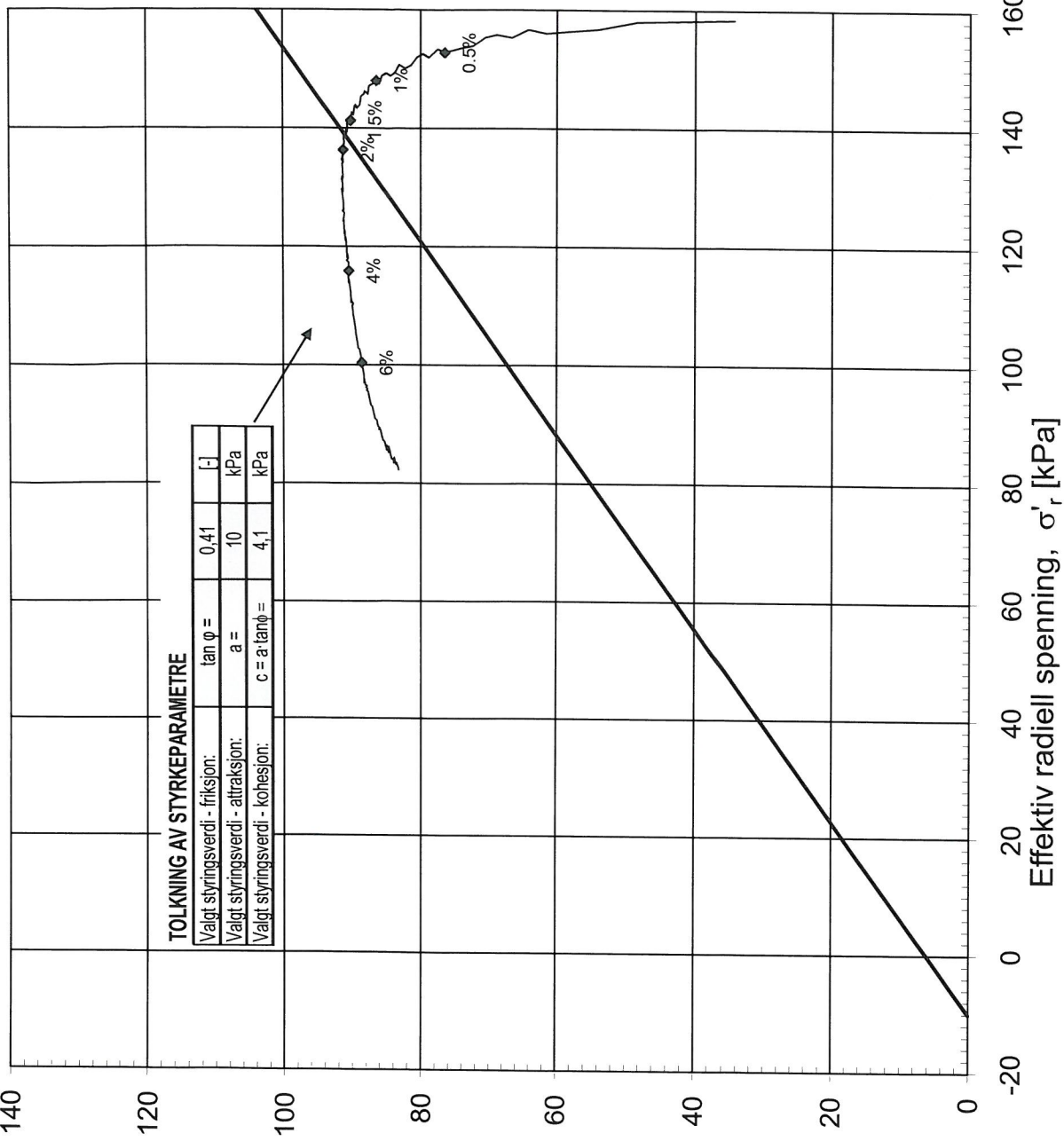
### Skjetlein VGS

Treaksialforsøk. Tolkning av parametre. NTNU-plott.

**MULTICONSULT AS**

Sluppenvegen 23,  
7486 TRONDHEIM  
Tlf.: 73 10 62 00  
Faks: 73 10 62 30

Forsøksdato: 02.02.2011	Dybde, z (m): 6,45	Borpunkt nr.: 16	Tegningens filnavn: H16, dybde 6.45m.xlsx
Forsøk nr.: 1	Tegnet: kjt	Kontrollert: sgh	Etter volumtøyning:
Oppdrag nr.: 414130	Tegning nr.: 88.3	Prosedyre: CAUa	Etter poretallsendring:
			
			Godkjent: oaa Programrevisjon: 02.02.2011



$$\text{Maks. skjærspenning, } \tau_{\max} = (\sigma'_a - \sigma'_r)/2 \text{ [kPa]}$$

Konsolideringsspenning, aksial:	$\sigma'_{ac}$ (kPa):	229,21
Konsolideringsspenning, radial:	$\sigma'_{rc}$ (kPa):	160,45
Volumtøyning i konsolideringsfase:	$\varepsilon_{vol}$ (%): $= \Delta V/V_0$ :	3,50
Baktrykk $u_b$ (kPa):	B - verdi $= \Delta u/\Delta \sigma_c$ (-):	N/A
Vanninnhold $w_i$ (%):	Densitet $\rho_i$ (g/cm³):	2,05

Sør-Trøndelag Fylkeskommune

Skjetlein VGS

Treaksialforsøk. Tolkning av parametre. NTNU-plott.

MULTICONSULT AS

Sluppenvegen 23,  
7486 TRONDHEIM  
Tlf.: 73 10 62 00  
Faks: 73 10 62 30

Forsøksdato:

27.02.2011

Dybde, z (m):

18,55

Prøvekvalitet

Tegningens filnavn:

H16, dybde 18,55m.xls

Etter volumtøyning:



Etter poretallsendring:

Forsøk nr.:

5

Tegnet:

kjt

Kontrollert:

sgh

Godkjent:

oaa

Oppdrag nr.:

414130

Tegning nr.:

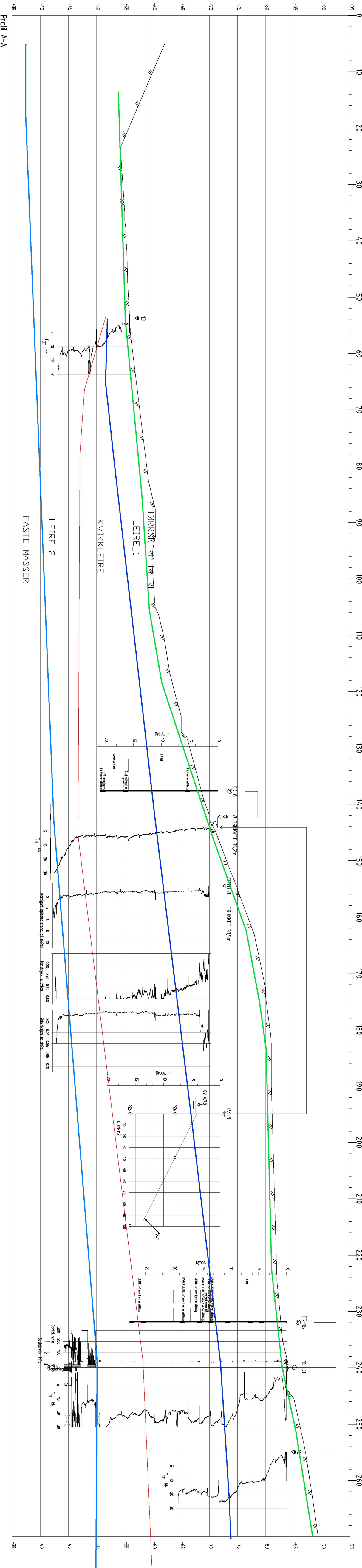
89.3

Prosedyre:

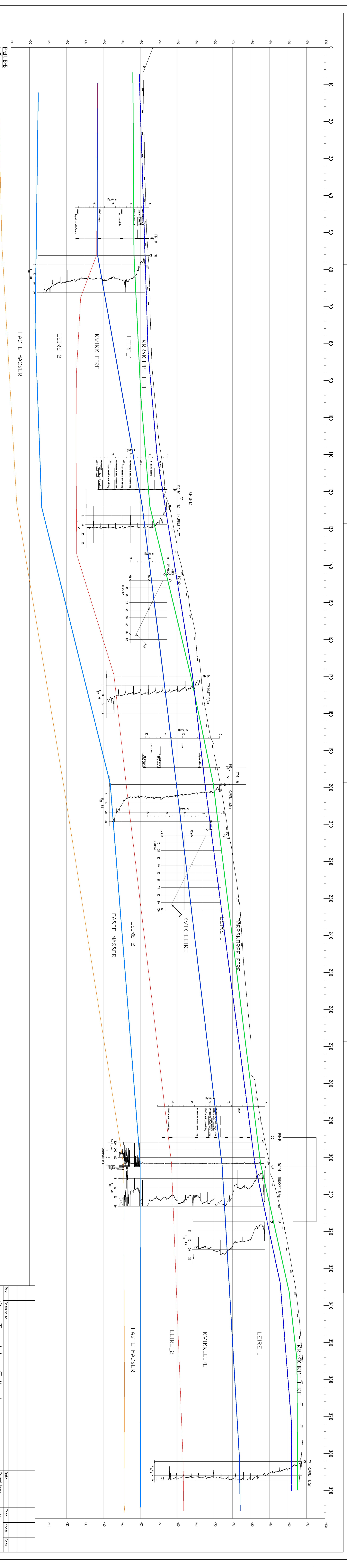
CAUa

Programrevisjon:

02.02.2011



A Rev.	Vist profil endret Beskrivelse	16.10.11 Dato	SGH SGH OAA Tegn. Kontr. Godkj.
Sør-Trøndelag Fylkeskommune	Original format A3-forlenget	Følg Geoteknikk	



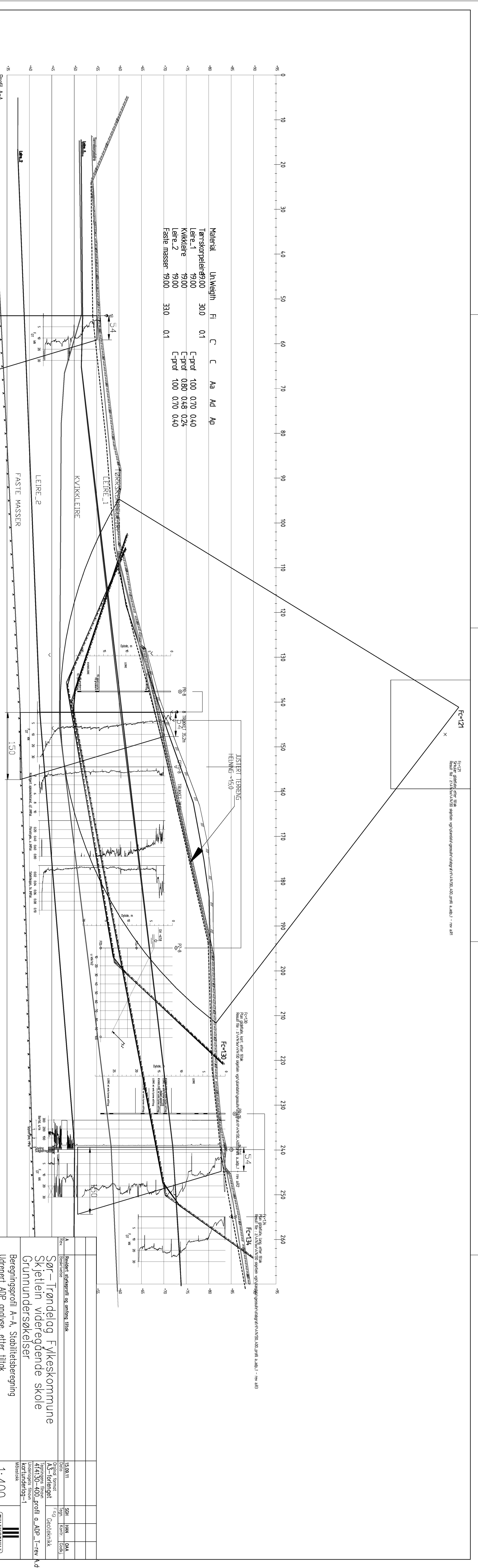
Rev.	Beskrivelse	Dato	Tegn. Kont. Godkj.
		Original format A3-forlenget	Fag Geoteknikk

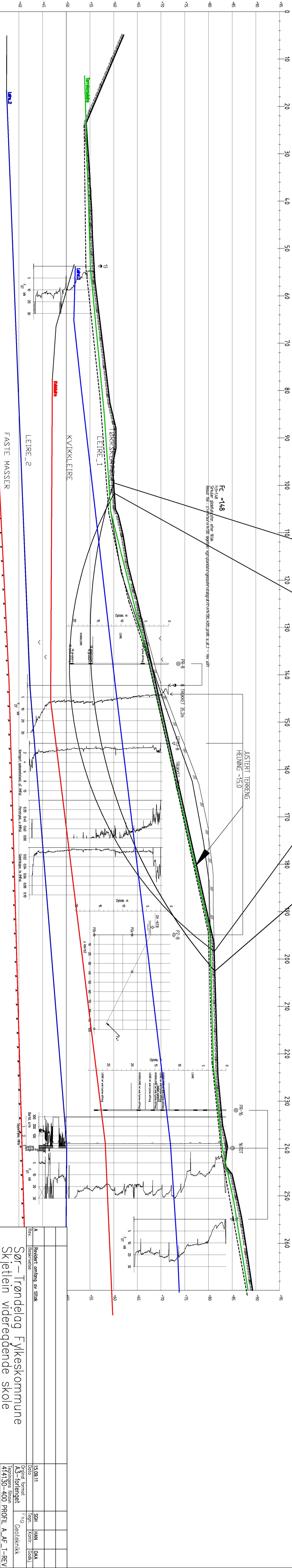


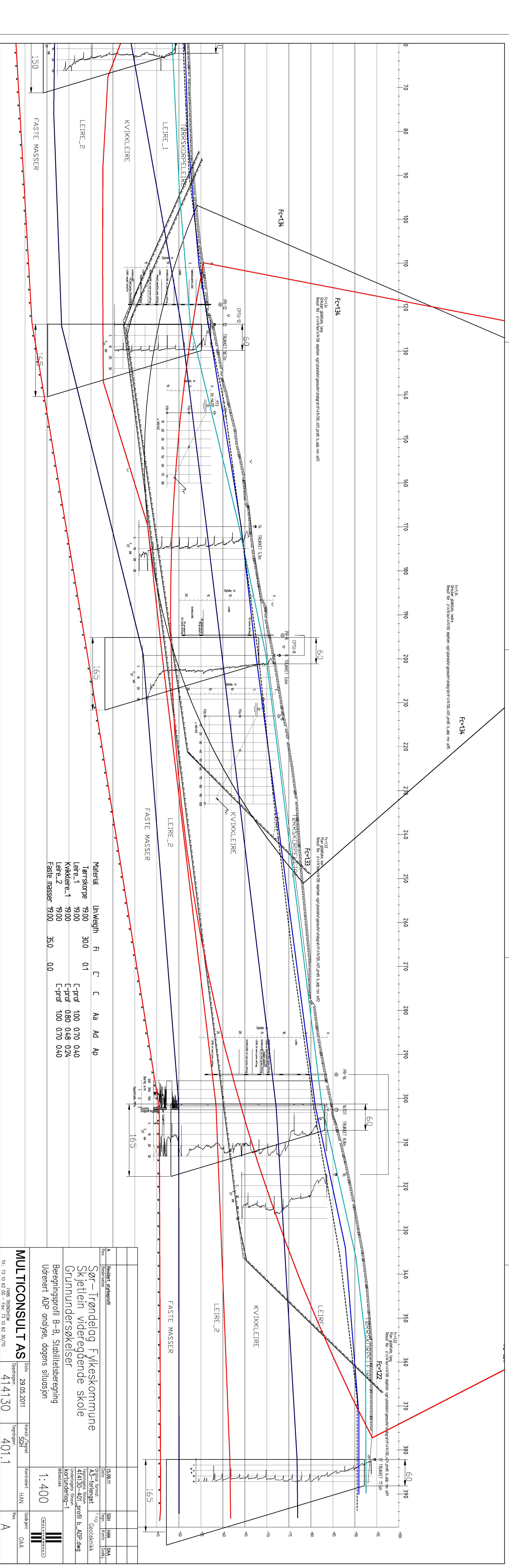






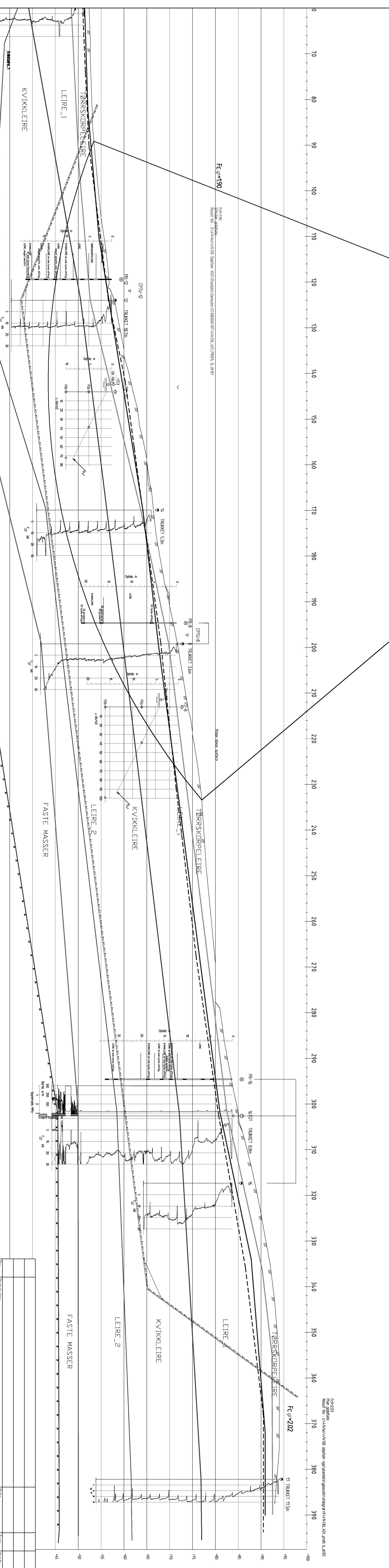






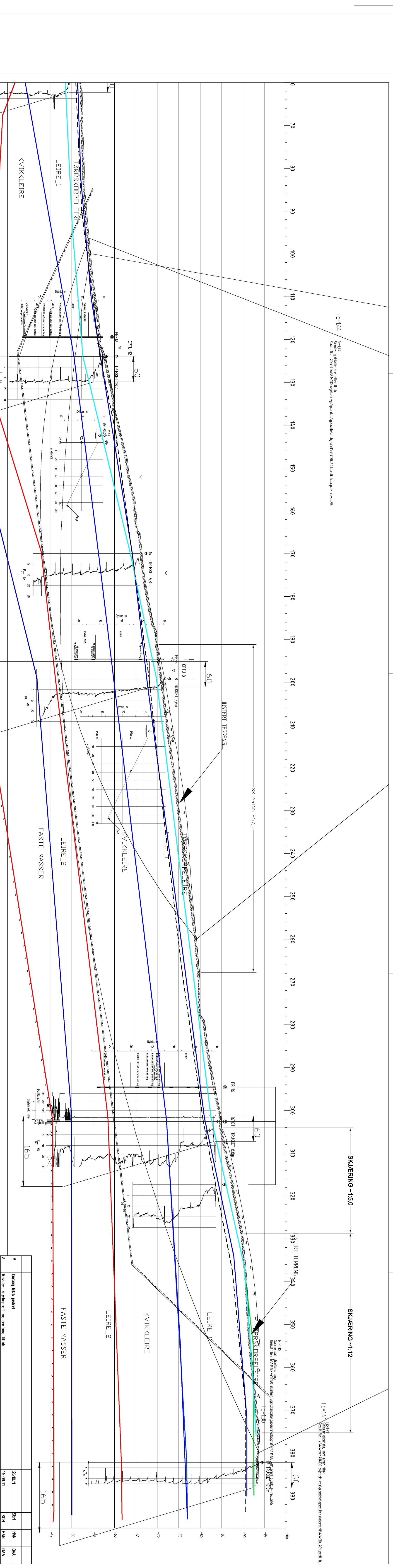
MULTICONSULT AS

Opprettet: 29.05.2011



Material Unwagn. Fi C C Ak Ad Ap  
 Torskope 1900 300 01  
 Lære 1 1900 250 100  
 Kvikkleire 1 1900 250 100  
 Lære 2 1900 250 100  
 Faste Masser 1900 350 00

MULTICONSULT AS  
 Opprørskode 7499  
 Opprørskode 73 10 2007  
 Opprørskode 414130  
 Opprørskode 40112



Naturlig  
grunn  
material

Unvægt  
h

$f_i$

C

C<sub>a</sub>

A<sub>d</sub>

A<sub>p</sub>

Terrassering  
19,00

30,0

0,1

C<sub>prof</sub>

100

0,70

0,40

Lere, 1

19,00

0,60

0,46

Kvikkeire, 1

19,00

0,60

0,40

Lere, 2

19,00

35,0

0,00

Faste masser

19,00

35,0

0,00

1:50

FASTE MASSER

LEIRE, 2

KVIKKEIRE

LEIRE, 1

VILKKEIRE

LEIRE, 2

FASTE MASSER

LEIRE, 2

KVIKKEIRE

LEIRE, 1

VILKKEIRE

LEIRE, 2

FASTE MASSER

LEIRE, 2

KVIKKEIRE

LEIRE, 1

VILKKEIRE

LEIRE, 2

FASTE MASSER

LEIRE, 2

KVIKKEIRE

LEIRE, 1

VILKKEIRE

LEIRE, 2

FASTE MASSER

LEIRE, 2

KVIKKEIRE

LEIRE, 1

VILKKEIRE

LEIRE, 2

FASTE MASSER

LEIRE, 2

KVIKKEIRE

LEIRE, 1

VILKKEIRE

LEIRE, 2

FASTE MASSER

LEIRE, 2

KVIKKEIRE

LEIRE, 1

VILKKEIRE

LEIRE, 2

FASTE MASSER

LEIRE, 2

KVIKKEIRE

LEIRE, 1

VILKKEIRE

LEIRE, 2

FASTE MASSER

LEIRE, 2

KVIKKEIRE

LEIRE, 1

VILKKEIRE

LEIRE, 2

FASTE MASSER

LEIRE, 2

KVIKKEIRE

LEIRE, 1

VILKKEIRE

LEIRE, 2

FASTE MASSER

LEIRE, 2

KVIKKEIRE

LEIRE, 1

VILKKEIRE

LEIRE, 2

FASTE MASSER

LEIRE, 2

KVIKKEIRE

LEIRE, 1

VILKKEIRE

LEIRE, 2

FASTE MASSER

LEIRE, 2

KVIKKEIRE

LEIRE, 1

VILKKEIRE

LEIRE, 2

FASTE MASSER

LEIRE, 2

KVIKKEIRE

LEIRE, 1

VILKKEIRE

LEIRE, 2

FASTE MASSER

LEIRE, 2

KVIKKEIRE

LEIRE, 1

VILKKEIRE

LEIRE, 2

FASTE MASSER

LEIRE, 2

KVIKKEIRE

LEIRE, 1

VILKKEIRE

LEIRE, 2

FASTE MASSER

LEIRE, 2

KVIKKEIRE

LEIRE, 1

VILKKEIRE

LEIRE, 2

FASTE MASSER

LEIRE, 2

KVIKKEIRE

LEIRE, 1

VILKKEIRE

LEIRE, 2

FASTE MASSER

LEIRE, 2

KVIKKEIRE

LEIRE, 1

VILKKEIRE

LEIRE, 2

FASTE MASSER

LEIRE, 2

KVIKKEIRE

LEIRE, 1

VILKKEIRE

LEIRE, 2

FASTE MASSER

LEIRE, 2

KVIKKEIRE

LEIRE, 1

VILKKEIRE

LEIRE, 2

FASTE MASSER

LEIRE, 2

KVIKKEIRE

LEIRE, 1

VILKKEIRE

LEIRE, 2

FASTE MASSER

LEIRE, 2

KVIKKEIRE

LEIRE, 1

VILKKEIRE

LEIRE, 2

FASTE MASSER

LEIRE, 2

KVIKKEIRE

LEIRE, 1

VILKKEIRE

LEIRE, 2

FASTE MASSER

LEIRE, 2

KVIKKEIRE

LEIRE, 1

VILKKEIRE

LEIRE, 2

FASTE MASSER

LEIRE, 2

KVIKKEIRE

LEIRE, 1

VILKKEIRE

LEIRE, 2

FASTE MASSER

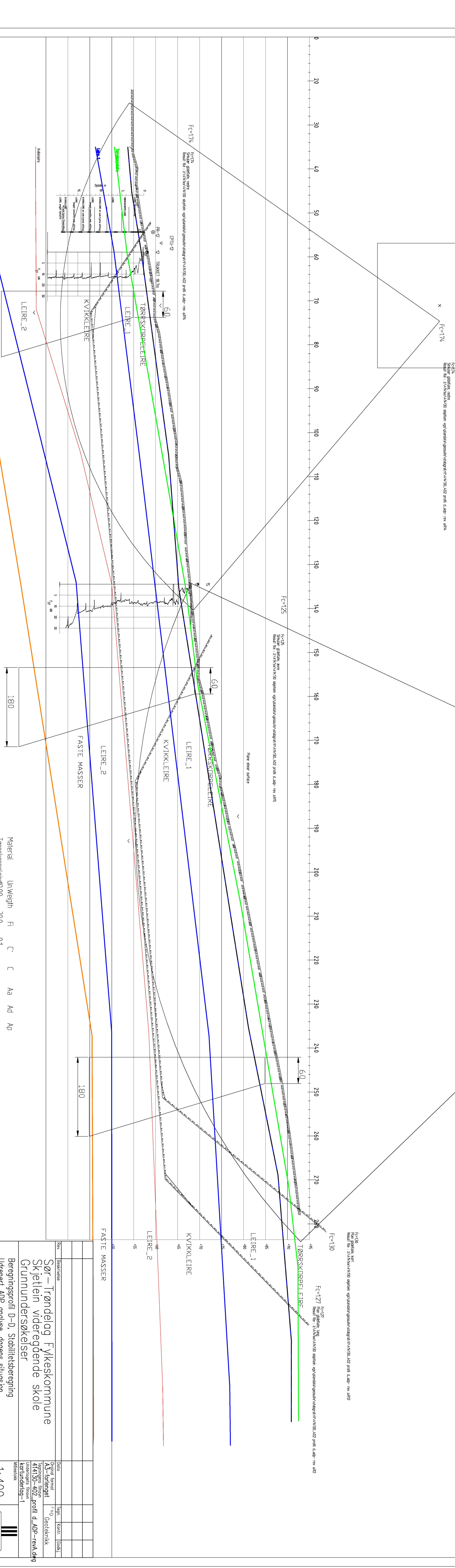
LEIRE, 2

KVIKKEIRE

LEIRE, 1

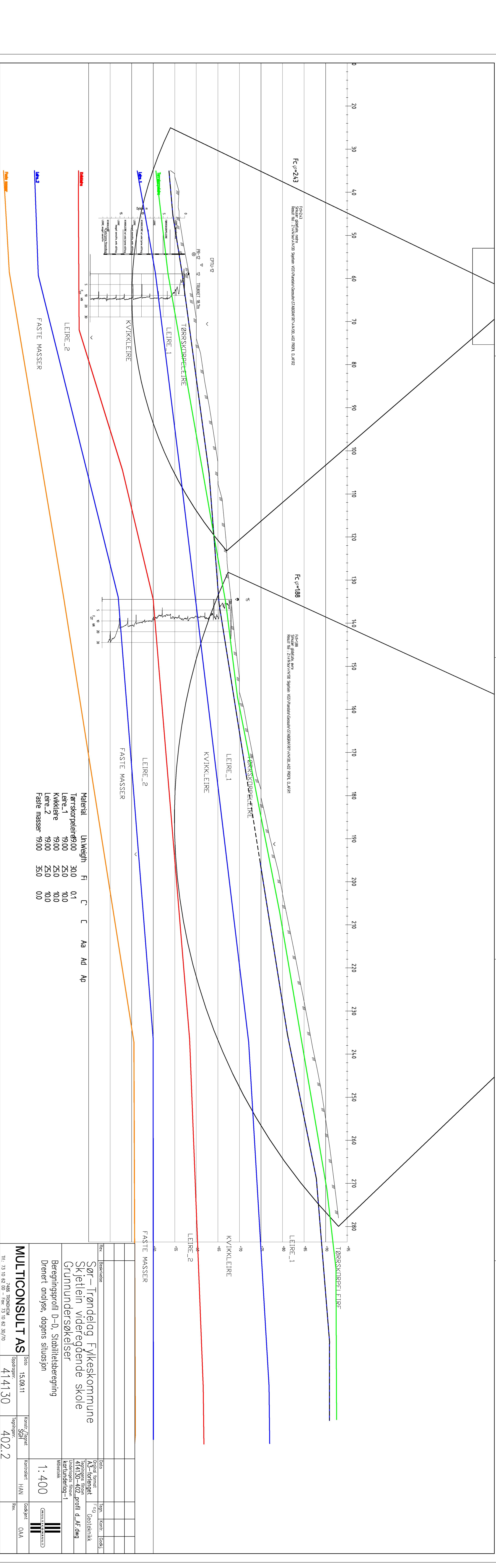
VILKKEIRE

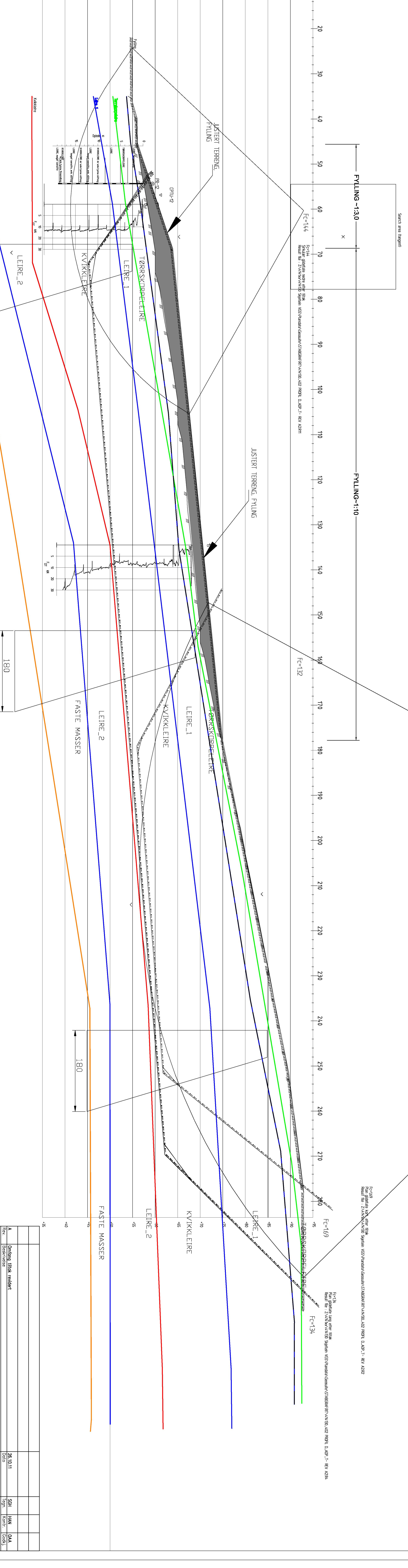
LEIRE, 2



Material	U.h.Weight	Fi	C	C	Aa	Ad	Ap
Tørrkorpeleire	9.00	30.0	0.1	C-prof	1.00	0.70	0.40
Leire_1	19.00			C-prof	0.80	0.48	0.24
Kvikkleire	19.00			C-prof	1.00	0.70	0.40
Leire_2	19.00						
Faste masser	19.00	350	0.0				

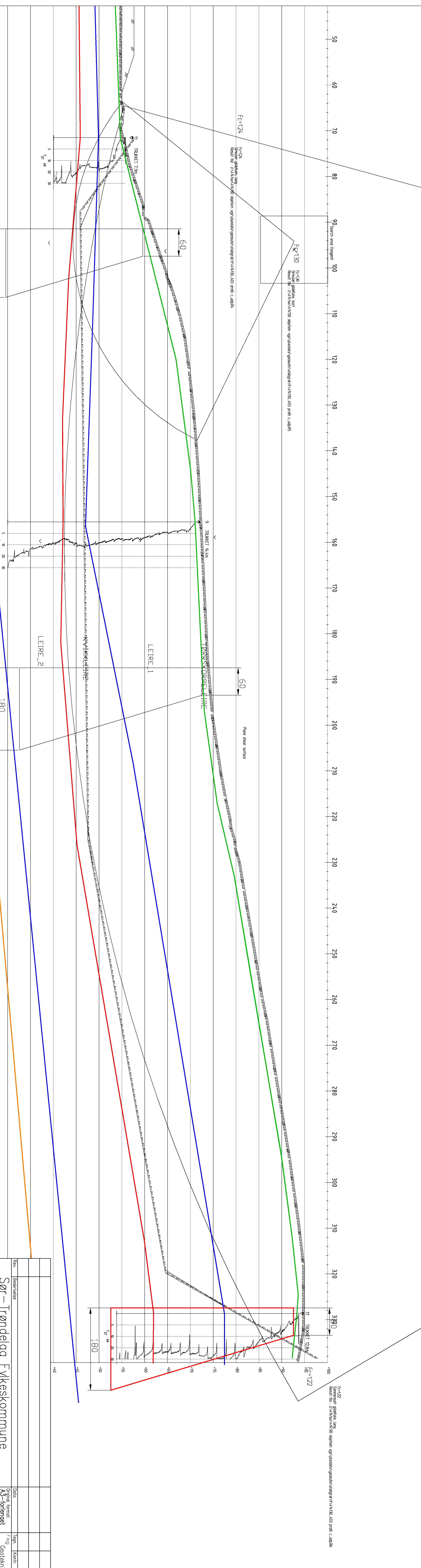
Tlf.: 73 10 62 00 - Fax.: 73 10 62 30/70 7486 TRONDHEIM		Beregningssprofil D-D, Stabilitetsberegning Udrenert ADP analyse, dagens situasjon		Målestokk Kulturlinje
<b>MULTICONSULT AS</b>		1: 400		
Oppdragsnr:	Date 15.09.11	Konstr./Teget SGH	Kontrollert HAN	Godkjent OAA
	Oppdragsnr: <b>414130</b>	Tegningsnr. <b>4021</b>		Rev.





Material	UnWeight	Fi	C'	C	Aa	Ad	Ap
Fylling	18.00	30.0	0.2				
Tørskorpeleir	19.00	30.0	0.1				
Leire_1	19.00						
Kvikkleire	19.00						
Leire_2	19.00						
Faste masser	19.00						
	35.0	0.0					
			C-prof	1.00	0.70	0.40	
			C-prof	0.80	0.48	0.24	
			C-prof	1.00	0.70	0.40	

Skjælie Vidergående Skole		414130-402_profil_d_ADP_T_REV A.dwg	
Grunnundersøkelser		Undelagets finnavn kartunderlag-1	
Beregningsprofil D-D, Stabilitetsberegning Udrenert ADP analyse, etter tiltak		Målestokk	
		1: 400	(MULTICONULT)
MULTICONULT AS	Dato Oppdragsnr.	Konstr./Tegnet SGH	Kontrollert HAN
7486 TRONDHEIM	15.09.11	Tegningsnr.	Godkjent OAA
			Rev.
			A



**MULTICONSULT AS**  
Oppdragsgiver  
Post: 26.01.11  
Oppdragsgiver  
4141-30  
Oppdragsgiver  
403.1  
Meldt. 73.02.00 - fra 73.02.2007



